



Сергей А. Лебедев



Геофизический Центр РАН



Майкопский государственный
технологический университет



Национальный исследовательский
университет «МИЭТ»

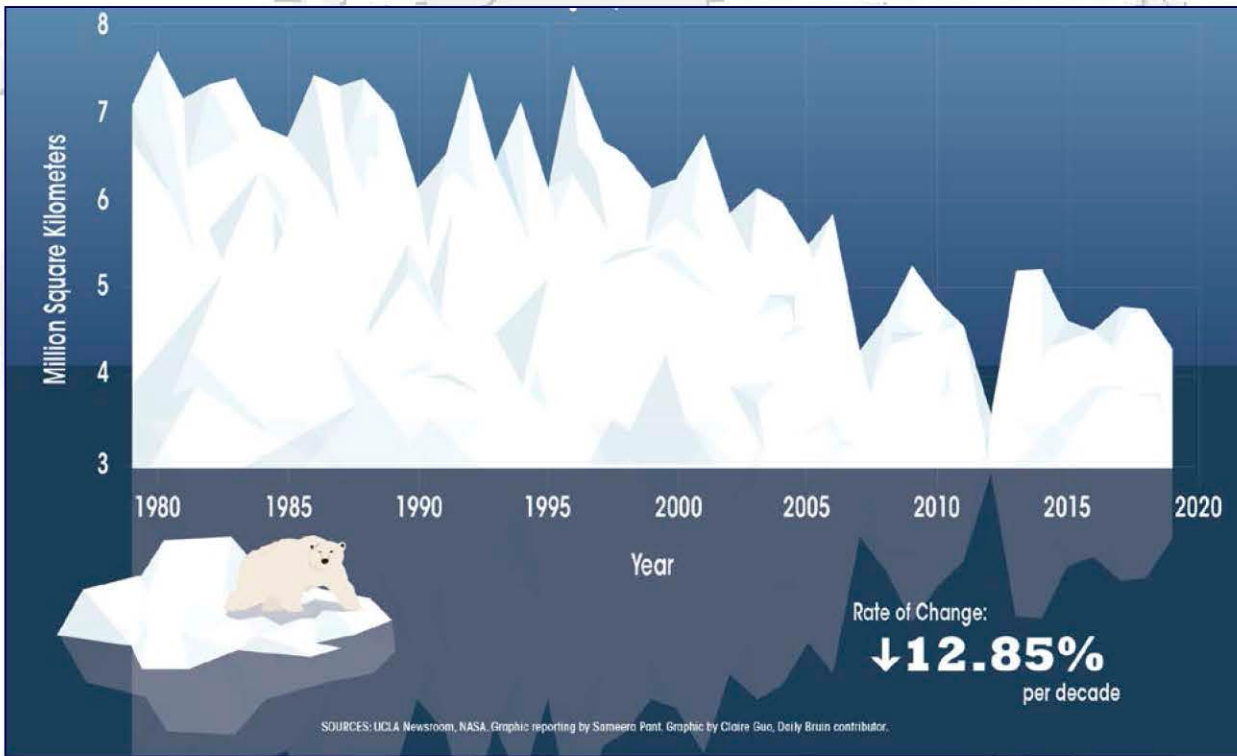
ИССЛЕДОВАНИЕ МОРСКОГО ЛЬДА МЕТОДАМИ ДИСТАНЦИОННОГО ЗОНДИРОВАНИЯ

«Системный анализ динамики природных процессов в российской Арктике», Московская область, 6–9 июня 2022

© 2022, ГЦ РАН, МГТУ, МИЭТ, С.А. Лебедев



Морской лед – как часть климатической системы



Одно из самых ярких проявлений происходящих изменений климата – стремительное сокращение арктических морских льдов в последние десятилетия. Арктический морской лёд не только служит индикатором

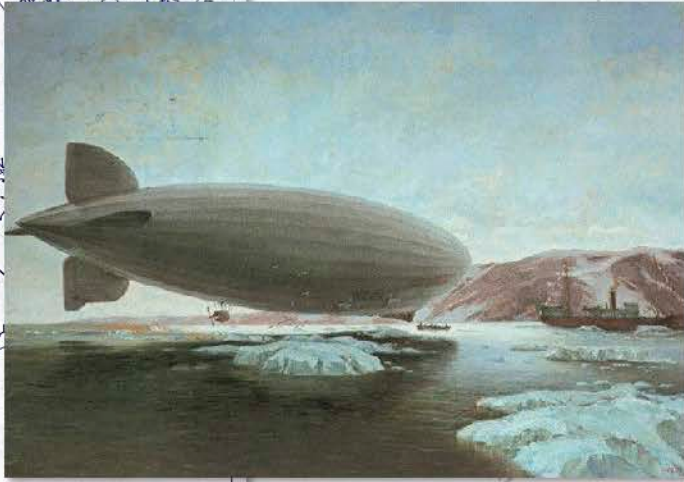
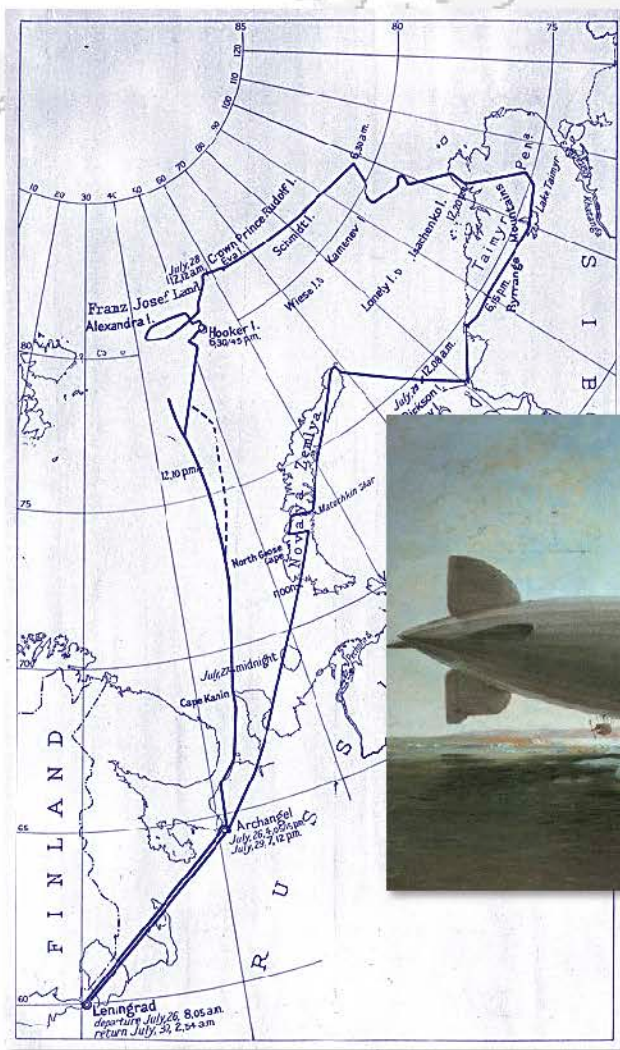
изменений климата, но и играет ключевую роль в важных обратных связях в земной климатической системе. Площадь и толщина ледяного покрова модулируют потоки тепла на границе океан–атмосфера и связаны с изменениями атмосферной, океанической циркуляции и радиационным балансом



Дистанционные измерения морского льда Аэрофотосъемка

Аэрофотосъемка – это фотографирование земной поверхности при помощи летательного аппарата, который тяжелее, чем воздух.

Первая аэрофотосъемка Арктики выполнена в 1931 г. с дирижабля «Граф Цеппелин»



Дирижабль LZ-127
«Граф Цеппелин»



Ледник на Новой Земле



Дистанционные измерения морского льда Ледовая авиационная разведка

История ледового картирования берёт начало с середины 20-х годов XX века, когда начались эпизодические ледовые авиаразведки в Арктике. С 1929 г. полёты стали регулярными в Карском море, а с 1935 г. – в море Лаптевых. С 1938 г. пионерский период авиаразведки льдов закончился, и авиационные наблюдения стали выполняться регулярно по всей трассе Северного морского пути, и не только в навигационный период.



Дистанционные измерения морского льда

Ледовая авиационная разведка



Карта ледовой обстановки вдоль Таймырского побережья между бухтой Михайлова и Таймырским заливом (берег Харитона Лаптева), Карское море. Карта выполнена в ходе ледовой авиаразведки 9 сентября 1934 г. и хранится в фондах ААНИИ.

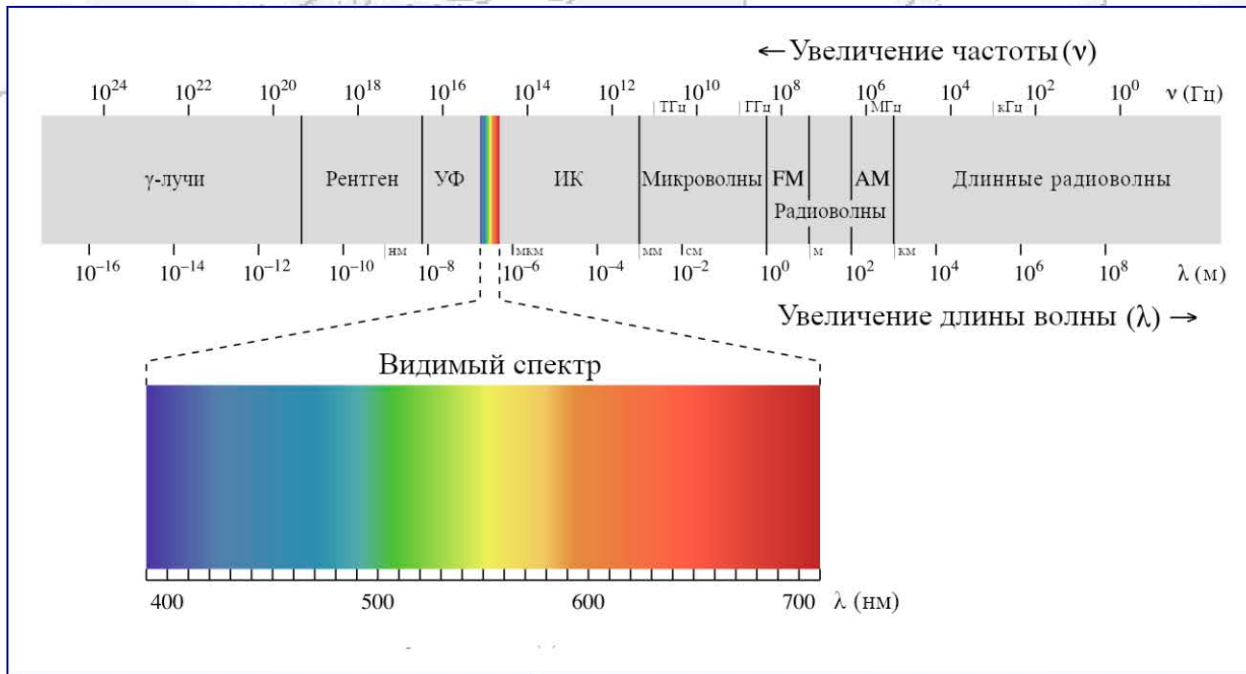


«Системный анализ динамики природных процессов в российской Арктике», Московская область, 6–9 июня 2022

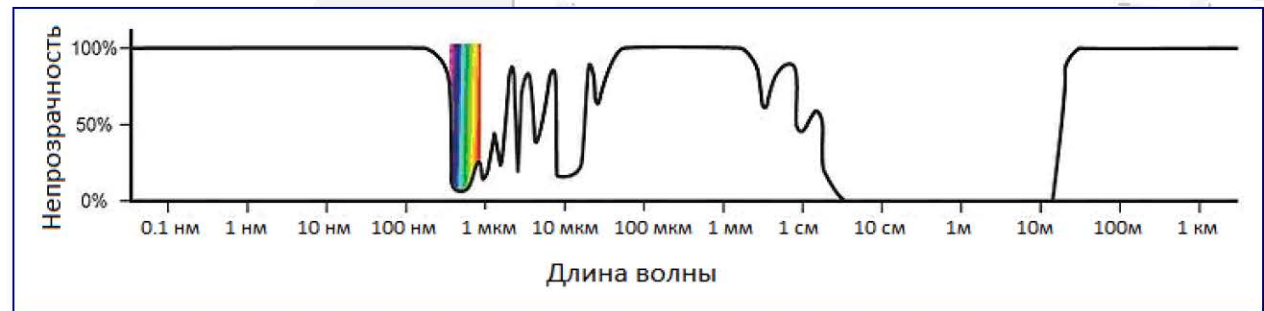
© 2022, ГЦ РАН, МГТУ, МИЭТ, С.А. Лебедев



Спектр электромагнитного излучения поверхности Земли



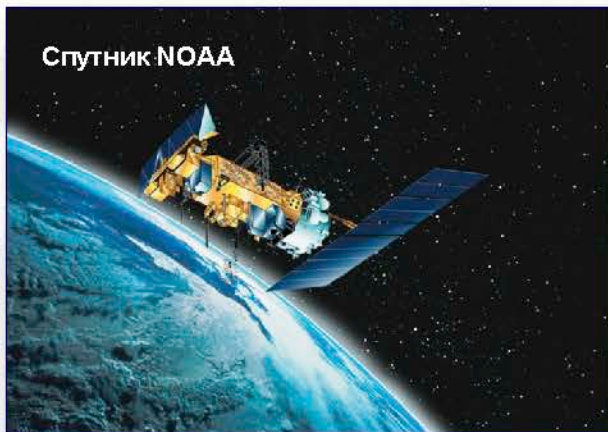
Зависимость непрозрачности земной атмосферы (измеряется в процентах) от длины волны излучения (λ)



Спектр электромагнитного излучения поверхности Земли



Типы методов дистанционного зондирования



Спутник NOAA



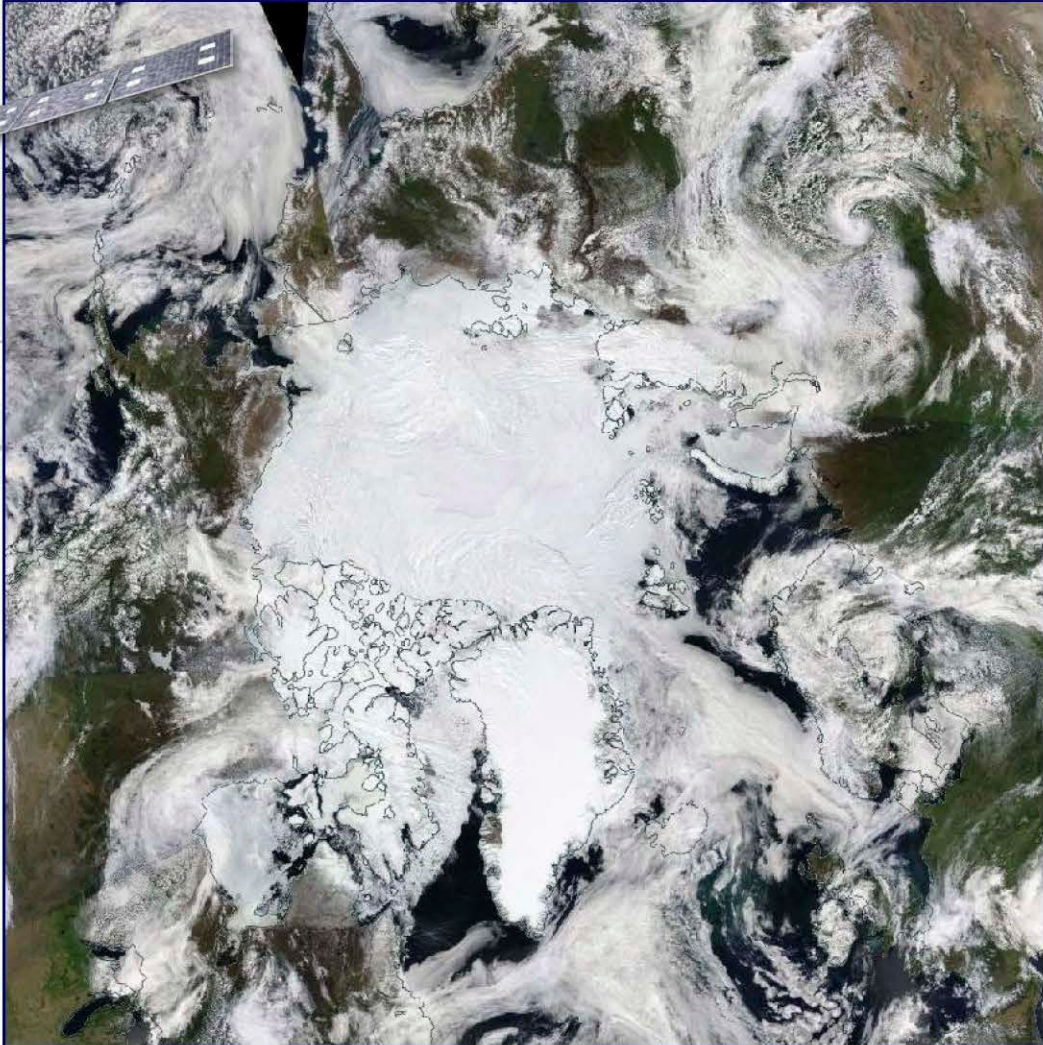
Do228LM

Методы дистанционного зондирования подразделяют на три типа: пассивные, полуактивные и активные.

- ◆ **Пассивные методы** основаны на регистрации теплового излучения (ИК и СВЧ) и естественного гамма-излучения с поверхности моря.
- ◆ **Полуактивные методы** основаны на облучении естественными и искусственными источниками электромагнитного излучения в широком спектральном диапазоне и в анализе сопоставления изменения спектрального состава отраженного сигнала.
- ◆ При использовании **активных методов** исследуемая водная поверхность облучается источниками излучения заданного спектрального состава с регистрацией или отраженного излучения, или флуоресценции, или комбинационного рассеяния.



Дистанционные измерения морского льда Сканеры видимого диапазона



Цвето
синтезированное
изображение в
видимом диапазоне
спектрорадиометра
*VIIRS (Visible Infrared
Imaging Radiometer
Suite)* спутника
NOAA-20 на 4 июня
2022 г.

«Системный анализ динамики природных процессов в российской Арктике», Московская область, 6–9 июня 2022

© 2022, ГЦ РАН, МГТУ, МИЭТ, С.А. Лебедев

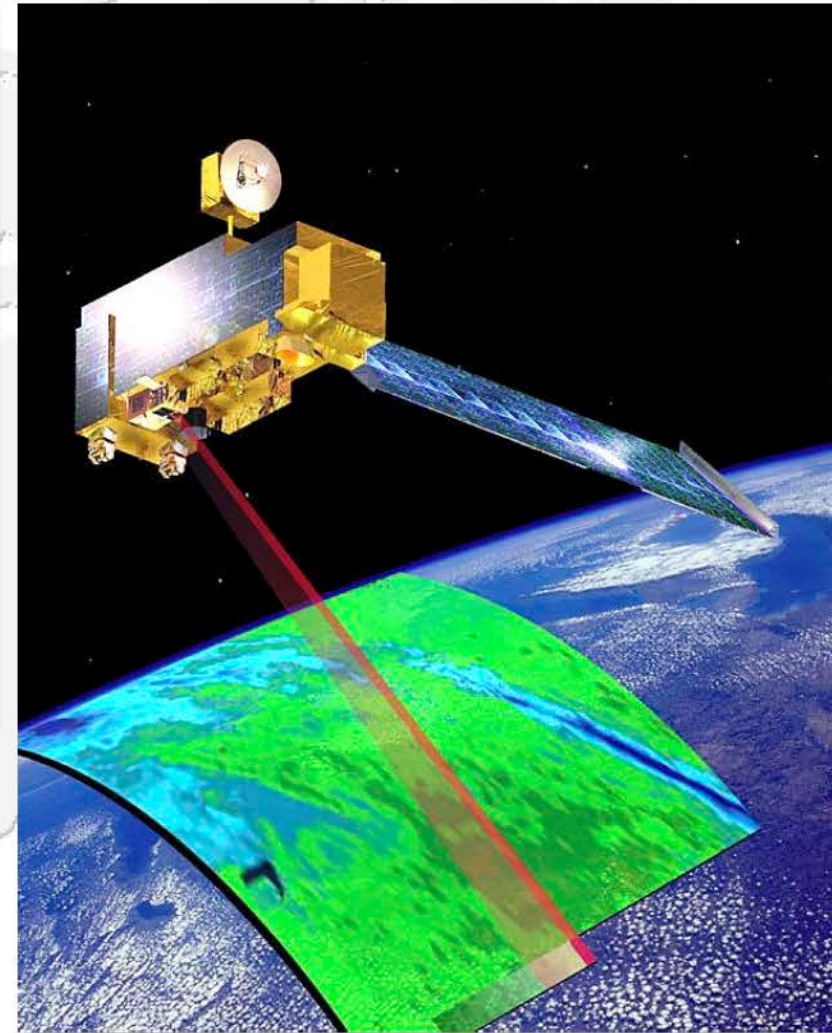


Дистанционные измерения морского льда

Сканеры видимого диапазона

Спектрорадиометр MODIS (Moderate Resolution Imaging Spectroradiometer)

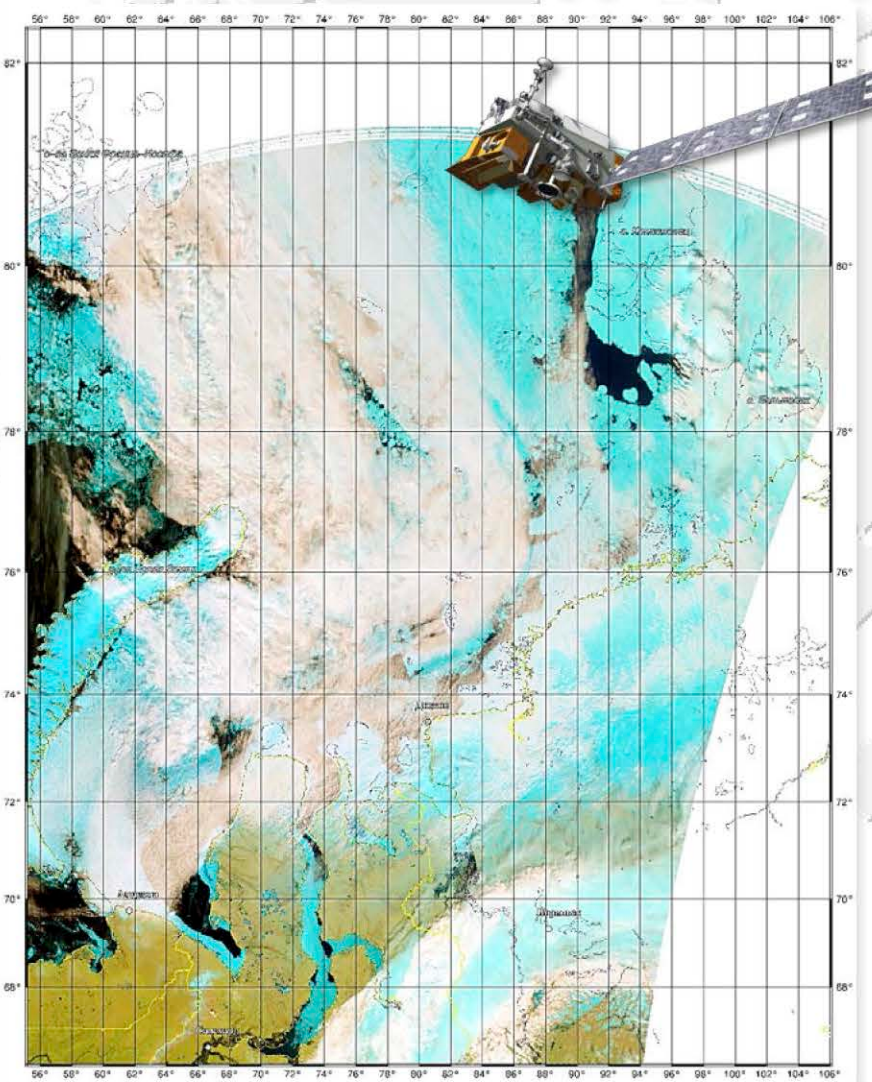
Спектральные каналы	36 спектральных каналов в видимом, ближнем, среднем и тепловом ИК-диапазонах
Пространственное разрешение в надире, м	250 (каналы 1-2); 500 (каналы 3-7); 1000 (каналы 8-36)
Ширина полосы съемки, км	2330
Период повторной съемки	1-2 раза в сутки, в зависимости от широты места съемки



*Схема сканирования
спектрорадиометром MODIS*



Дистанционные измерения морского льда Сканеры видимого диапазона



Цвето синтезированное изображение в видимом диапазоне спектрорадиометра VIIRS (Visible Infrared Imaging Radiometer Suite) спутника NOAA-20 на 4 июня 2022 г.

«Системный анализ динамики природных процессов в российской Арктике», Московская область, 6–9 июня 2022

© 2022, ГЦ РАН, МГТУ, МИЭТ, С.А. Лебедев



Дистанционные измерения морского льда Сенсоры видимого диапазона высокого разрешения

Спутник Landsat-8

Датчик OLI (Operational Land Imager)

Спектральные каналы	9 спектральных каналов в видимом и ближнем ИК-диапазонах
Пространственное разрешение в надире, м	30 (каналы 1-7, 9); 15 (канал 8)

Датчик TIRS (Thermal InfraRed Sensor)

Спектральные каналы	92 спектральных канала в дальнем ИК-диапазоне
Пространственное разрешение в надире, м	100 (каналы 1-2)
Размеры кадра съемки, км	185 x 185
Период повторной съемки	7-10 суток, в зависимости от широты места съемки

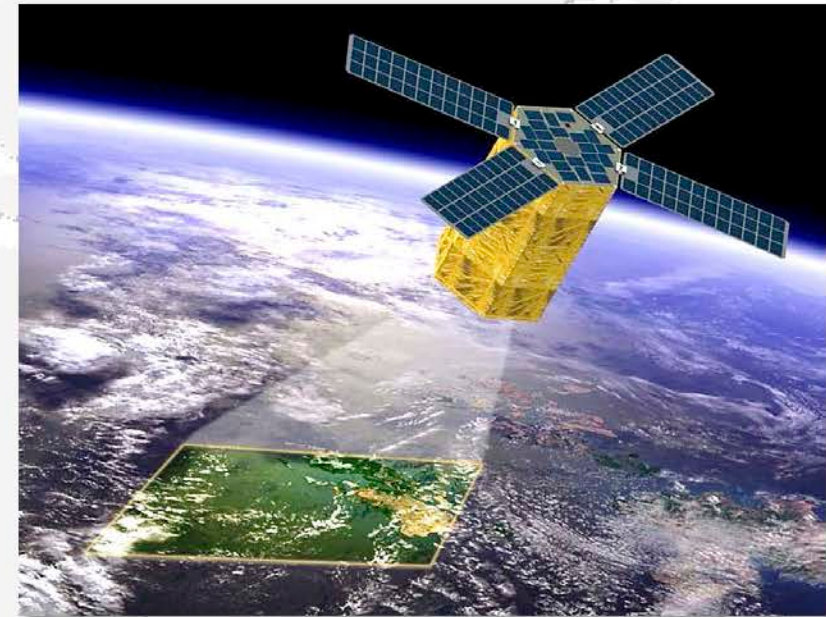


Схема сканирования датчиков OLI и TIRS спутника Landsat-8



«Системный анализ динамики природных процессов в российской Арктике», Московская область, 6–9 июня 2022

© 2022, ГЦ РАН, МГТУ, МИЭТ, С.А. Лебедев



Дистанционные измерения морского льда Сенсоры видимого диапазона высокого разрешения



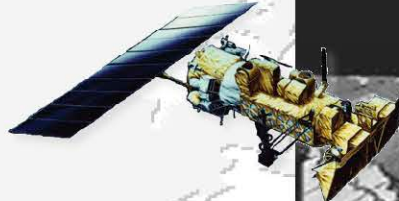
*Спутниковое изображение залива Содружества (Антарктида) в видимом диапазоне сенсора спутника IKONOS на 31 января 2001 г.
Пространственное разрешение 0,81 м.*

«Системный анализ динамики природных процессов в российской Арктике», Московская область, 6–9 июня 2022

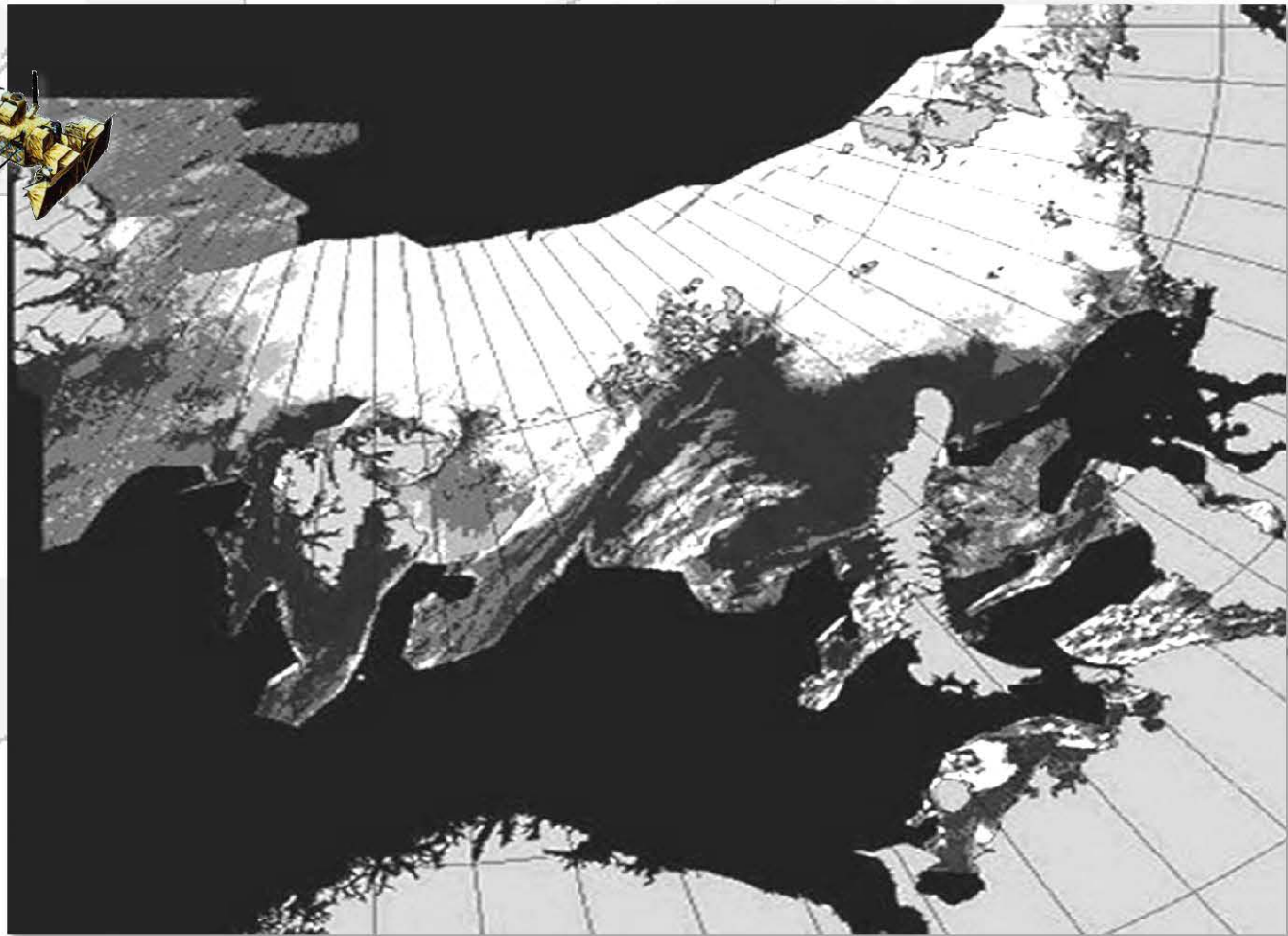
© 2022, ГЦ РАН, МГТУ, МИЭТ, С.А. Лебедев



Дистанционные измерения морского льда Инфракрасная радиометрия

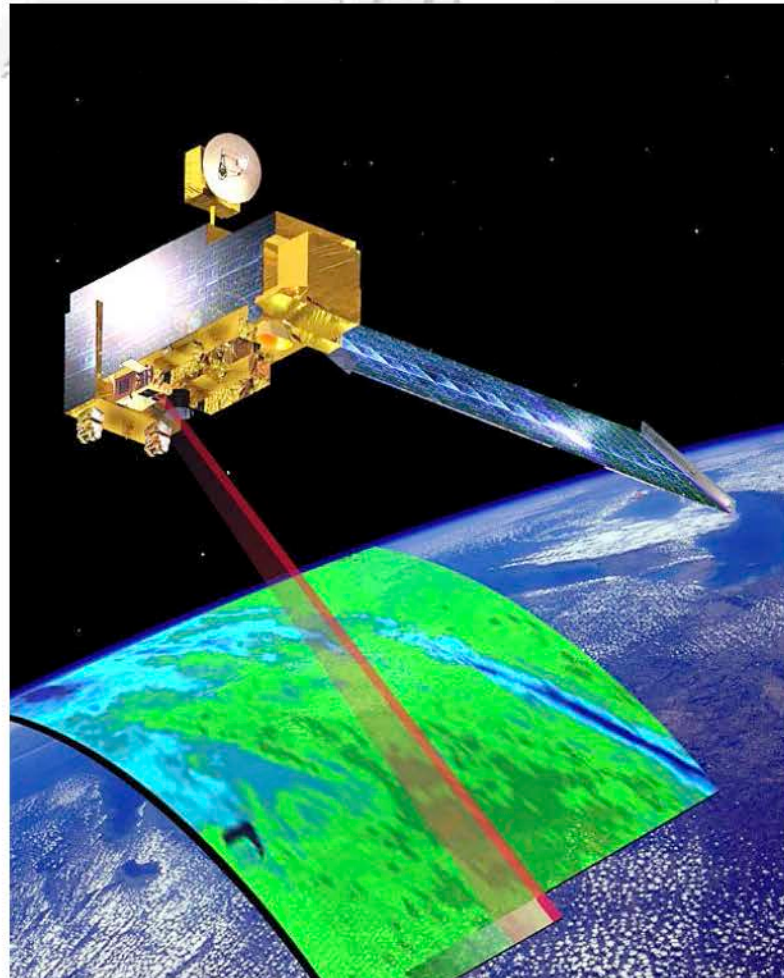


Композитные изображение в инфракрасном диапазоне радиометра AVHRR (Advanced Very High Resolution Radiometer) спутника NOAA-20 на 26-28 июля 2021 г.



Дистанционные измерения морского льда

Инфракрасная радиометрия



Усовершенствованный радиометр высокого разрешения AVHRR
(Advanced Visible High Resolution Radiometer)

Спектральные каналы	6 спектральных каналов в видимом, ближнем, среднем и тепловом ИК-диапазонах
Пространственное разрешение в надире, м	1100
Ширина полосы съемки, км	3000
Период повторной съемки	1-2 раза в сутки, в зависимости от широты места съемки

Схема сканирования радиометра AVHRR



Идентификация льда по данным дистанционного зондирования в видимом и инфракрасном диапазонах

Для обнаружения снега и льда используется индекс нормализованной разности снега (Normalized Difference Snow Index, NDSI):

$$NDSI = (R_1 - R_2) / (R_1 + R_2)$$

где R_1 – отражательная способность в видимом канале, 0,55, 0,67 или 0,86 мкм, R_2 – коэффициент отражения в коротковолновом ИК-канале (1,6 или 2,2 мкм). Пиксель считается занят льдом, если $NDSI > 0,45$, а $R_1 > 0,08$.

Также может используется нормализованный относительный индекс растительности (Normalized Difference Vegetation Index, NDVI) обычно называемый индексом вегетации:

$$NDVI = (NIR - RED) / (NIR + RED)$$

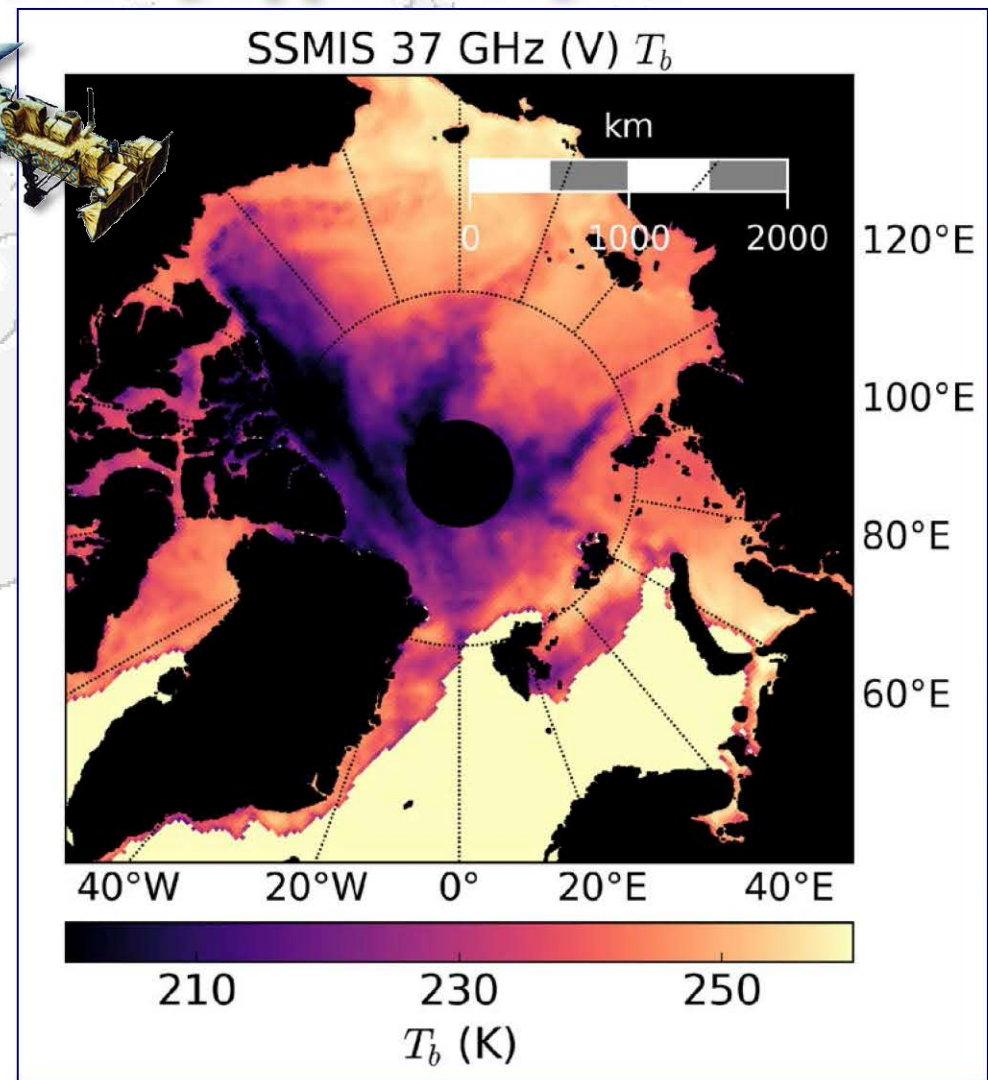
где NIR – отражательная способность в ближней инфракрасной области спектра RED – отражательная способность в красной области спектра. Пиксель считается занят льдом, если $NDVI \approx -0,05$. Для воды $NDVI \approx -0,25$.



Дистанционные измерения морского льда Микроволновая радиометрия



Значения радиояркостной температуры микроволнового радиометра SSMI по данным канала 37 ГГц (V) на 2 марта 2011 года



Дистанционные измерения морского льда Микроволновая радиометрия

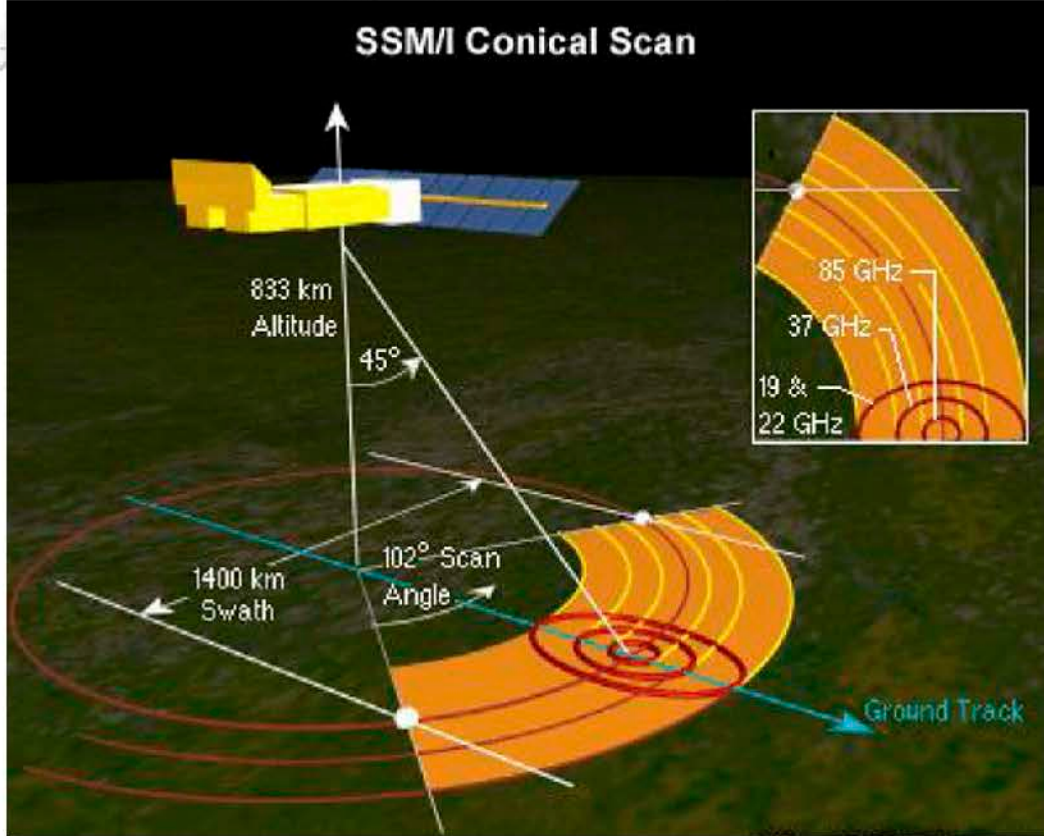


Схема сканирования многоканального СВЧ-радиометра SSM/I, установленного на спутниках серии DMSP

Датчик SSMIS (Special Sensor Microwave Imager / Sounder)

Спектральные каналы	24 спектральных каналов в СВЧ-диапазонах
Поляризация	V, H, правая круговая
Ширина полосы съемки, км	1700
Пространственное разрешение в надире, км	12,5 x 12,5 (каналы 8-11, 17-18); 25,0 x 12,5 (каналы 12-16); 37,5 x 12,5 (каналы 1-7); 75,0 x 12,5 (каналы 19-12)
Период повторной съемки	1-2 раза в сутки, в зависимости от широты места съемки



Идентификация льда по данным дистанционного зондирования в микроволновом диапазоне

Одним из главных параметров морского ледяного покрова является сплоченность морских льдов – процентное соотношение морского льда и чистой воды в одном пикселе:

$$C_{ice} = \frac{T_{b-water} - T_b}{T_{b-water} - T_{b-ice}}$$

где T_b – радиояркостная температура пикселя, T_b – радиояркостная температура пикселя соответствующего чистой воде и T_b – радиояркостная температура пикселя соответствующего чистому льду.

За площадь морского льда принимают сумму площадей пикселей умноженных на сплоченность морских льдов для каждого пикселя при сплоченности не менее 15%, а за протяженность льда – кумулятивную площадь всех пикселей, имеющих сплоченность морских льдов не менее 15%.



Идентификация льда по данным дистанционного зондирования в микроволновом диапазоне

Для идентификации льда используется два соотношения: поляризационное PR(19) (H горизонтальная и V вертикальная поляризации канала 19 ГГц) (Алгоритм NASA team):

$$PR(19) = \frac{T_b(19V) - T_b(19H)}{T_b(19V) + T_b(19H)}$$

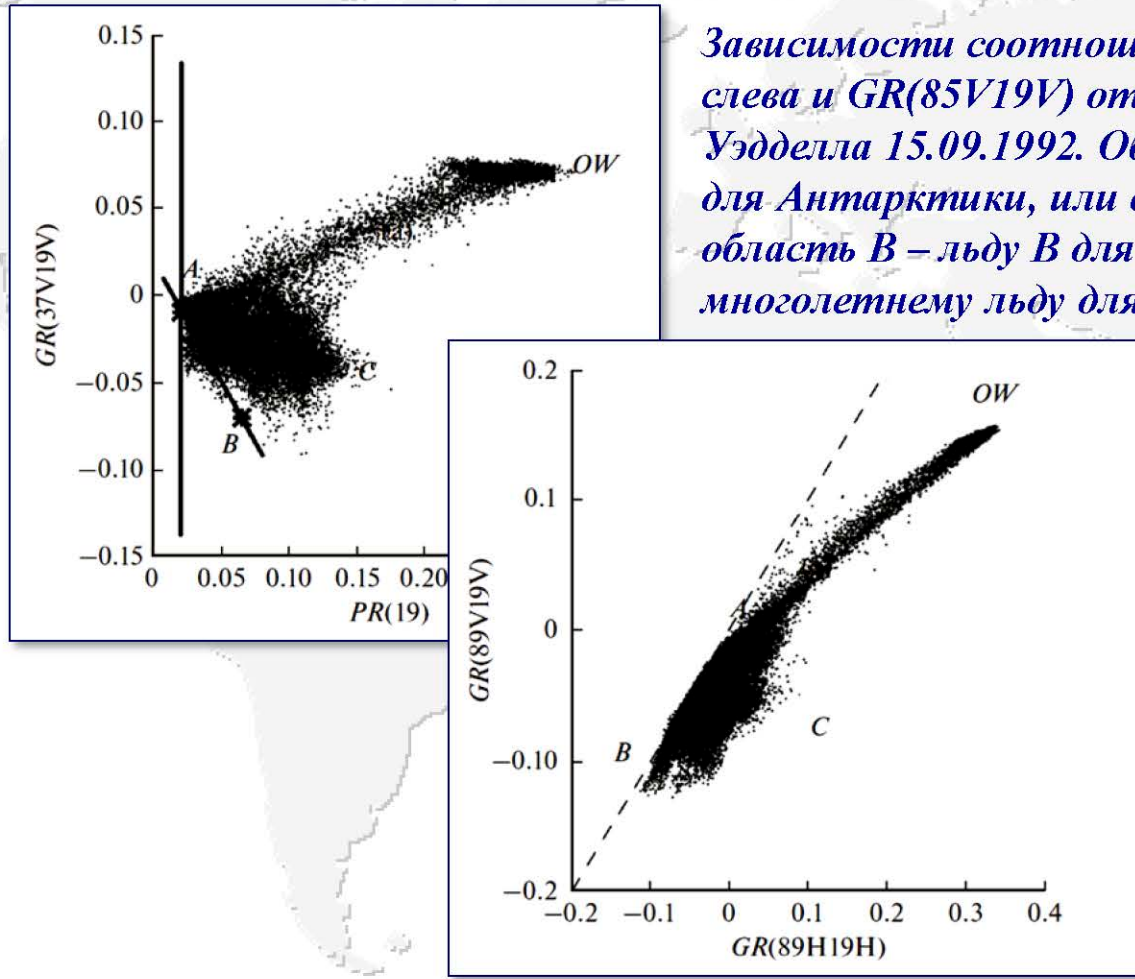
и градиентное GR(37V19V) (V вертикальная поляризация каналов 19 и 37 ГГц):

$$GR(37V19V) = \frac{T_b(37V) - T_b(19V)}{T_b(37V) + T_b(19V)}$$

где T_b – яркостная температура спутникового канала



Идентификация льда по данным дистанционного зондирования в микроволновом диапазоне



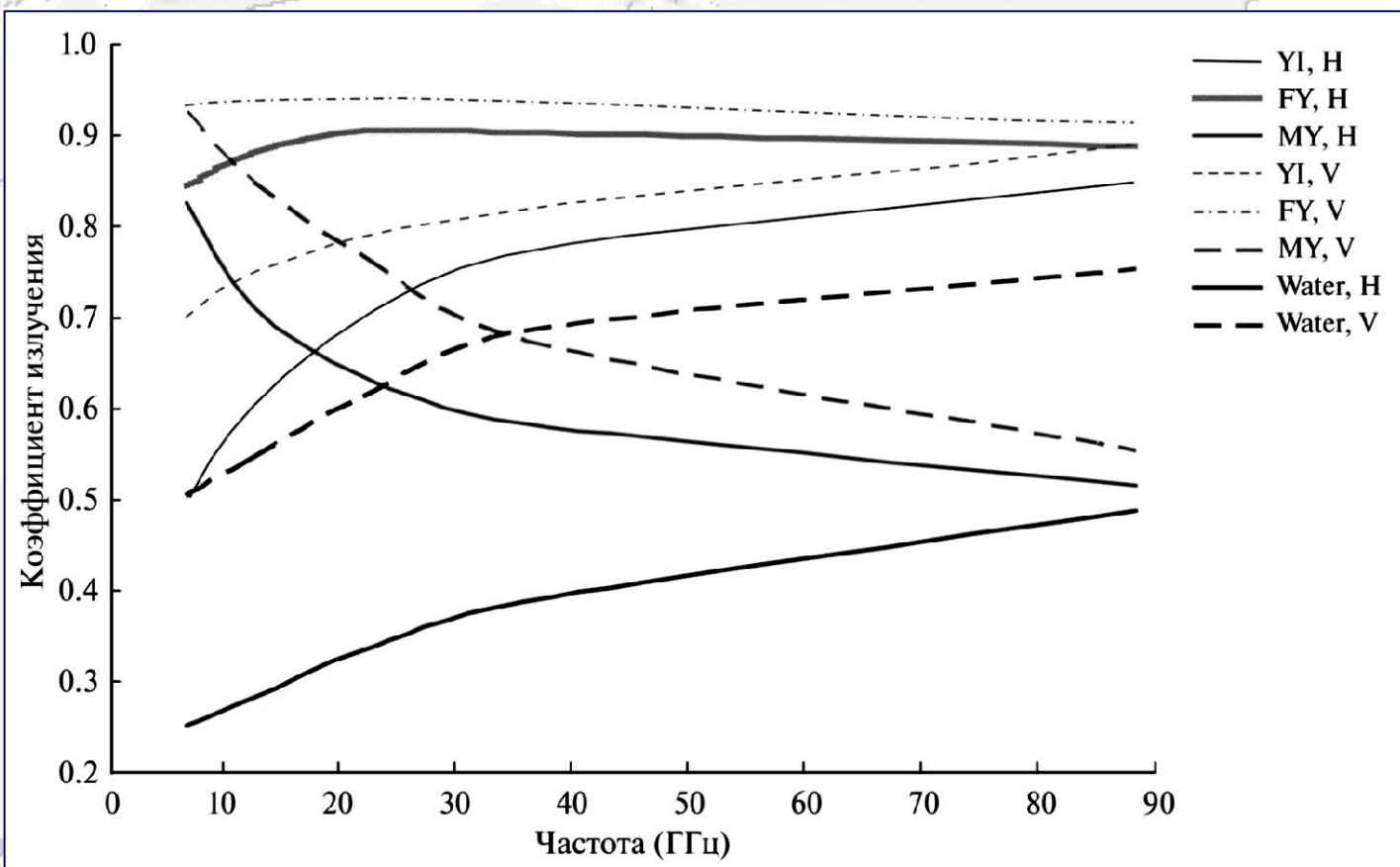
Зависимости соотношений: $GR(37V19V)$ от $PR(19)$ – слева и $GR(85V19V)$ от $GR(85H19H)$ – справа. Море Уэдделла 15.09.1992. Область A соответствует льду A для Антарктики, или однолетнему льду для Арктики; область B – льду B для Антарктики, или многолетнему льду для Арктики;

а область OW – открытой морской поверхности. Линия AB является линией 100% концентрации льда, а участки между AB и OW участками с различной сплоченностю льда. Сплошной лед с поверхностными эффектами образует на графике область C, которая находится в зоне меньших сплоченностей (слева)

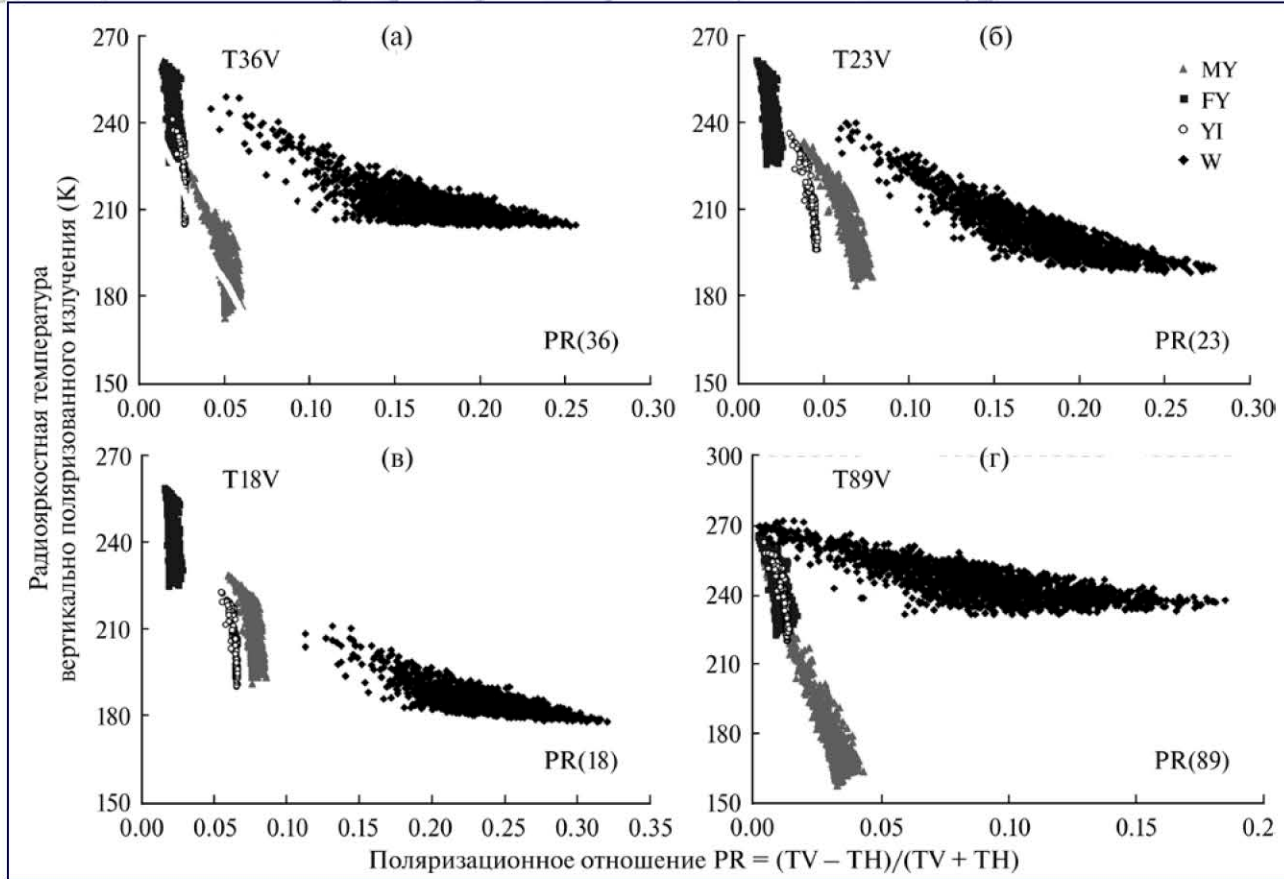


Идентификация льда по данным дистанционного зондирования в микроволновом диапазоне

Частотная
зависимость
коэффициентов
излучения
однолетнего
(FY),
многолетнего
(MY) и молодого
(YI) морского
льда и свободной
от льда
морской
поверхности
(Water) при
отсутствии
ветра для
вертикальной
(V) и
горизонтальной
(H) поляризации.



Идентификация льда по данным дистанционного зондирования в микроволновом диапазоне



Зависимости радиояркостных температур вертикально поляризованного микроволнового излучения при 100% сплоченности для однолетнего (FY), многолетнего (MY) и молодого (YI) льдов и 100% открытой морской воды (W) от поляризационных отношений на соответствующих частотах:
а – 36.5,
б – 23.8,
в – 18.7,
г – 89 ГГц.



«Системный анализ динамики природных процессов в российской Арктике», Московская область, 6–9 июня 2022

© 2022, ГЦ РАН, МГТУ, МИЭТ, С.А. Лебедев



Идентификация льда по данным дистанционного зондирования в микроволновом диапазоне



Снежницы

«Системный анализ динамики природных процессов в российской Арктике», Московская область, 6–9 июня 2022

© 2022, ГЦ РАН, МГТУ, МИЭТ, С.А. Лебедев



Идентификация льда по данным дистанционного зондирования в микроволновом диапазоне

Алгоритмы VASIA и VASIA2 (Variation Arctic/Antarctic Sea Ice Algorithm) разработаны сотрудниками трех российских научных институтов: ИКИ РАН, ИФА РАН и АНИИ. В основе него лежат не экспериментальные данные, а теоретическая модель излучения системы «морская поверхность–ледяной покров–снежный покров–атмосфера».

В качестве основных параметров алгоритм использует три тангенса угла наклона прямой, проведенной через значения яркостной температуры для двух разных частот одной поляризации к оси частот: тангенс для частот 85.5 и 19.35 ГГц вертикальной (V) поляризации – тангенс для частот 85.5 и 37 ГГц горизонтальной (H) поляризации – и тангенс для частот 37 и 19.35 ГГц вертикальной (V) поляризации,



Идентификация льда по данным дистанционного зондирования в микроволновом диапазоне

$$\tan(85V19V) = \frac{T_b(85V) - T_b(19V)}{85,5 - 19,35}$$

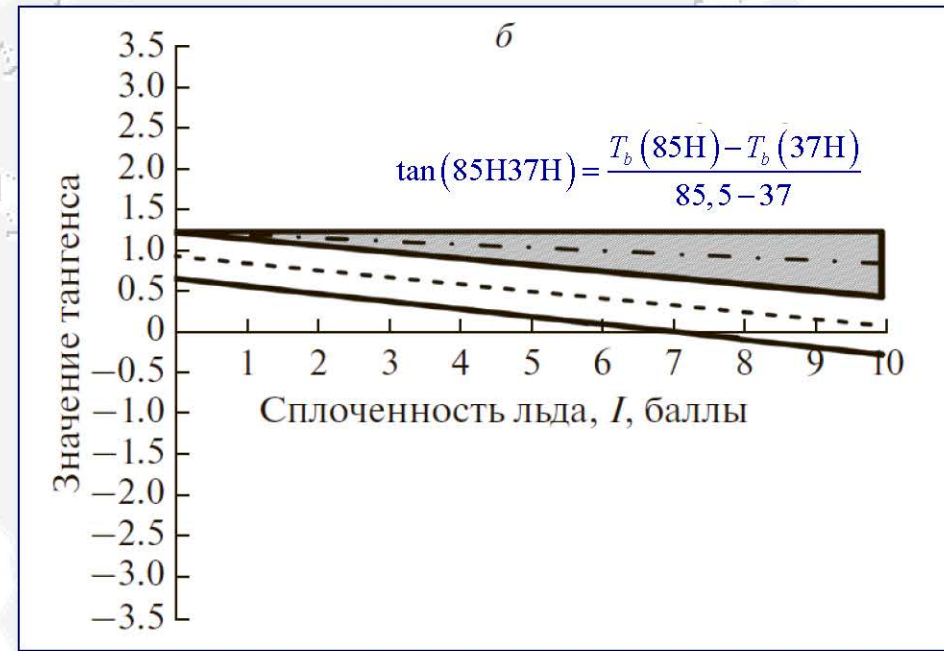
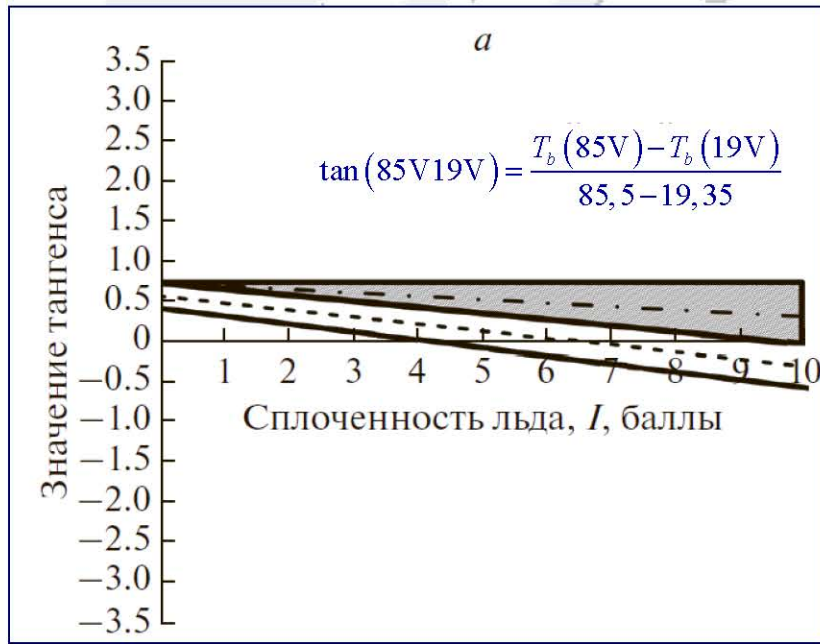
$$\tan(85H37H) = \frac{T_b(85H) - T_b(37H)}{85,5 - 37}$$

$$\tan(37V19V) = \frac{T_b(37V) - T_b(19V)}{37 - 19,5}$$

где T_b – яркостная температура спутникового канала на вертикальной (V) или горизонтальной (H) поляризации.



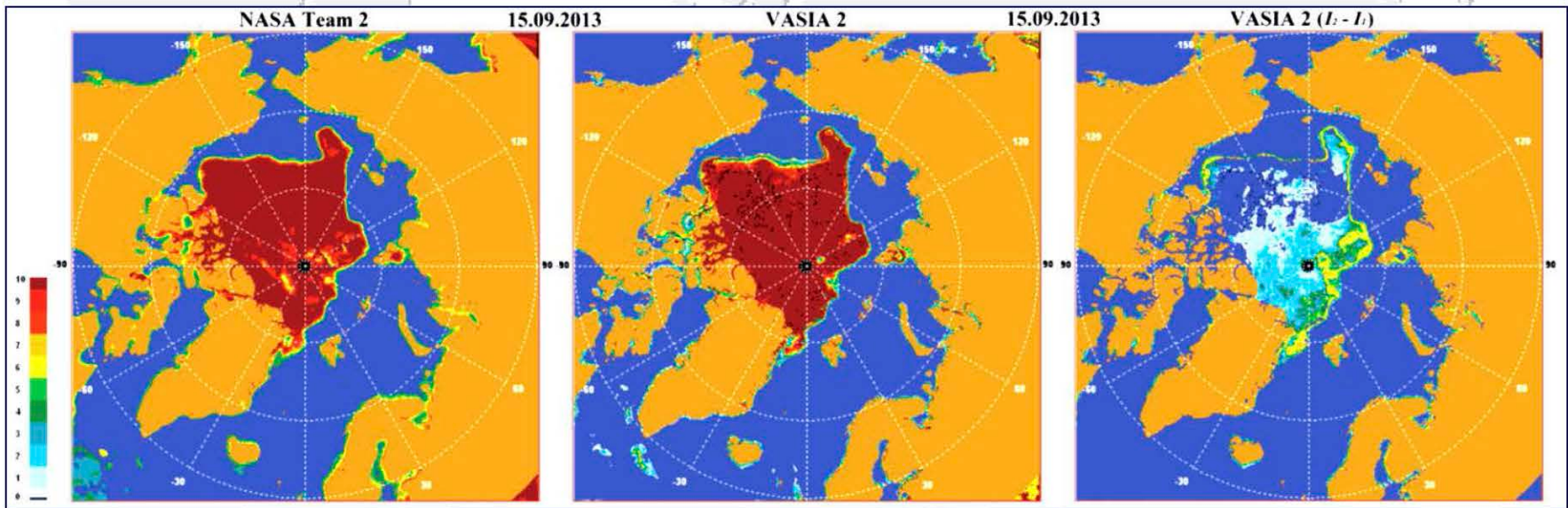
Идентификация льда по данным дистанционного зондирования в микроволновом диапазоне



*Зависимости значений тангенсов: а – и б – от сплоченности ледяного покрова.
Незаштрихованная область между двумя прямыми – для ледяного покрова, область
заштрихованного треугольника – для ледяного покрова со снежницами.
Пунктирная и штрихпунктирная линии – средние соответствующих областей.*



Идентификация льда по данным дистанционного зондирования в микроволновом диапазоне



Сплошность ледяного покрова Арктики в 2013 г., рассчитанная по алгоритмам: NASA Team2, VASIA2, а также удельная площадь снежниц (I₂-I₁).

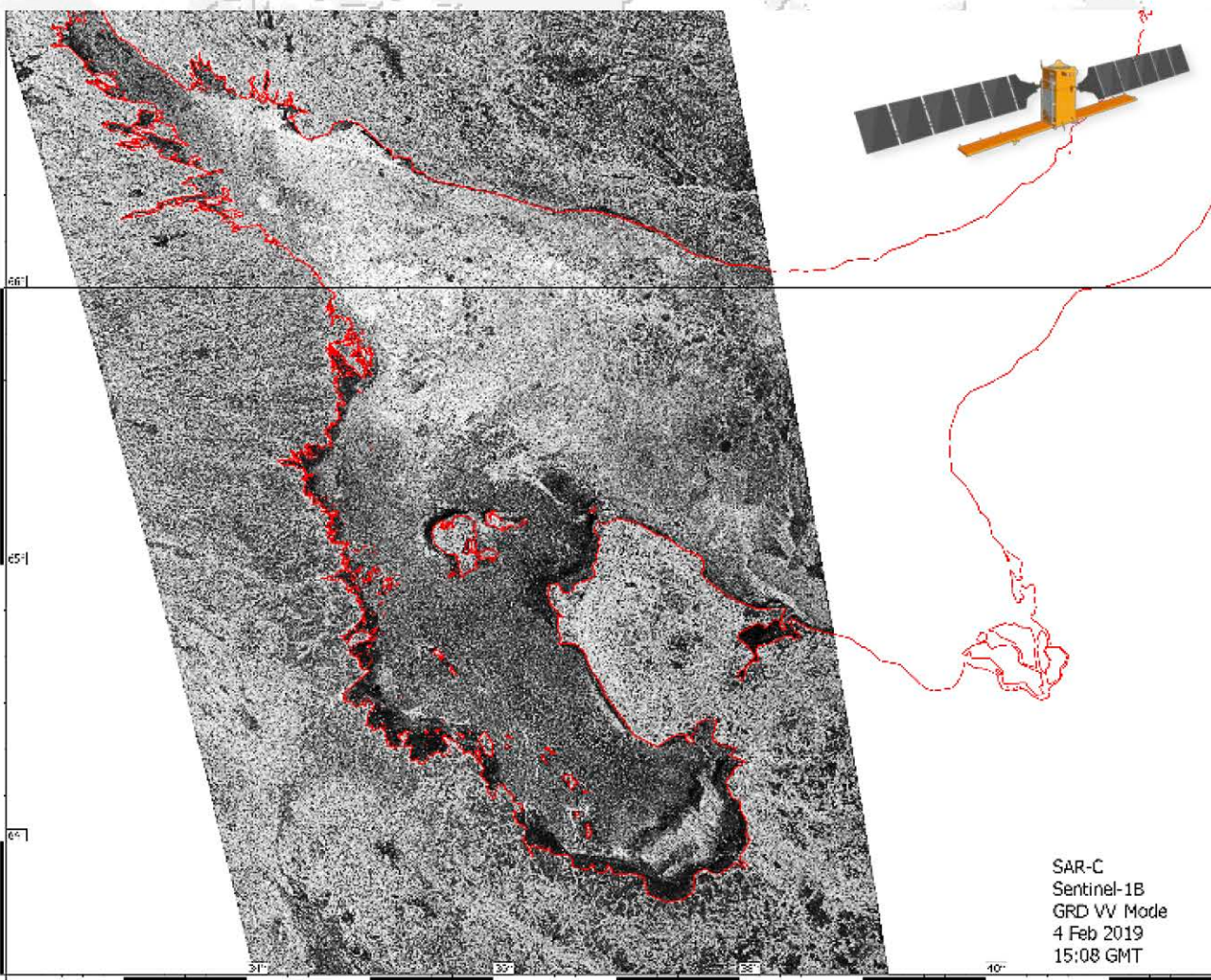


«Системный анализ динамики природных процессов в российской Арктике», Московская область, 6–9 июня 2022

© 2022, ГЦ РАН, МГТУ, МИЭТ, С.А. Лебедев



Дистанционные измерения морского льда Радар с синтезированной апертурой



Спутниковые
изображения с
радара с
синтезированной
апертурой
спутника
Sentinel-1b
на 2 февраля 2019 г.

«Системный анализ динамики природных процессов в российской Арктике», Московская область, 6–9 июня 2022

© 2022, ГЦ РАН, МГТУ, МИЭТ, С.А. Лебедев



Дистанционные измерения морского льда Радар с синтезированной апертурой

Радар с синтезированной апертурой SAR-C спутника Sentinel-1

Рабочая частота, ГГц	5,405
Режимы работы	Extra-Wide Swath Mode (EWSM) Strip Map Mode (SMM) Wave-Mode (WM) Interferometric Wide Swath (IWM)
Поляризация	VV+VH или HH+HV (EWSM), VV+VH или HH+HV (SMM), VV или HH (WM), VV+VH или HH+HV (IWM),
Пространственное разрешение в надире, м	20 x 40 (EWSM), 5 x 5 (SMM), 5 x 5 (WM), 5 x 20 (IWM)
Ширина полосы обзора, км	400 (EWSM), 80 (SMM), 20 x 20 (WM), 250 (IWM)
Период повторной съемки	1-3 суток, в зависимости от широты места съемки

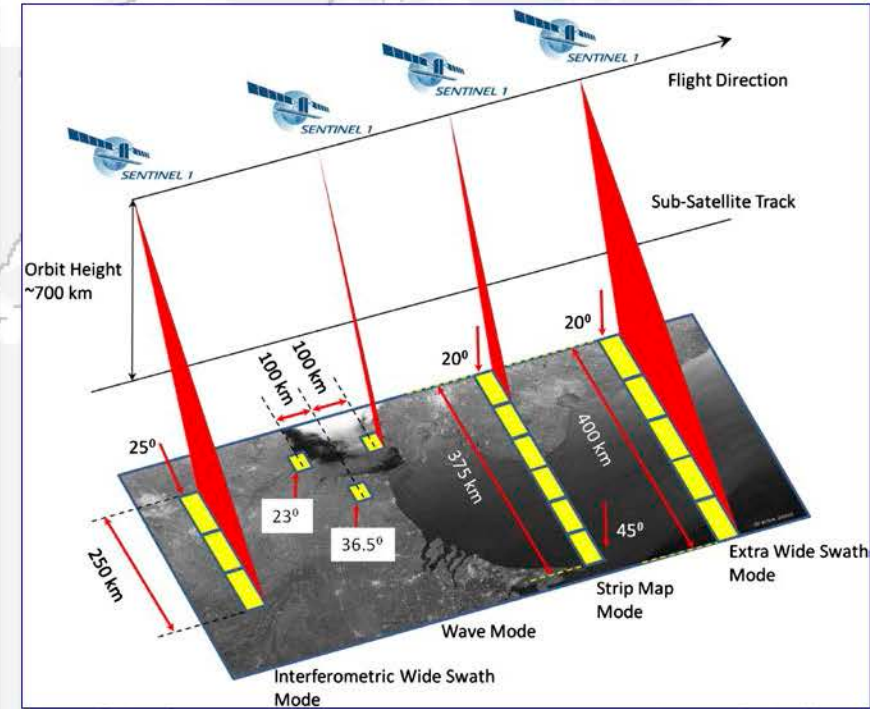


Схема сканирования радара с синтезированной апертурой спутника Sentinel-1b



«Системный анализ динамики природных процессов в российской Арктике», Московская область, 6–9 июня 2022

© 2022, ГЦ РАН, МГТУ, МИЭТ, С.А. Лебедев



Идентификация льда по данным радара с синтезированной апертурой

Основное уравнение радиолокации

$$P_r = \frac{P_t G^2 \lambda^2 k \sigma}{(4\pi)^3 R^4}$$

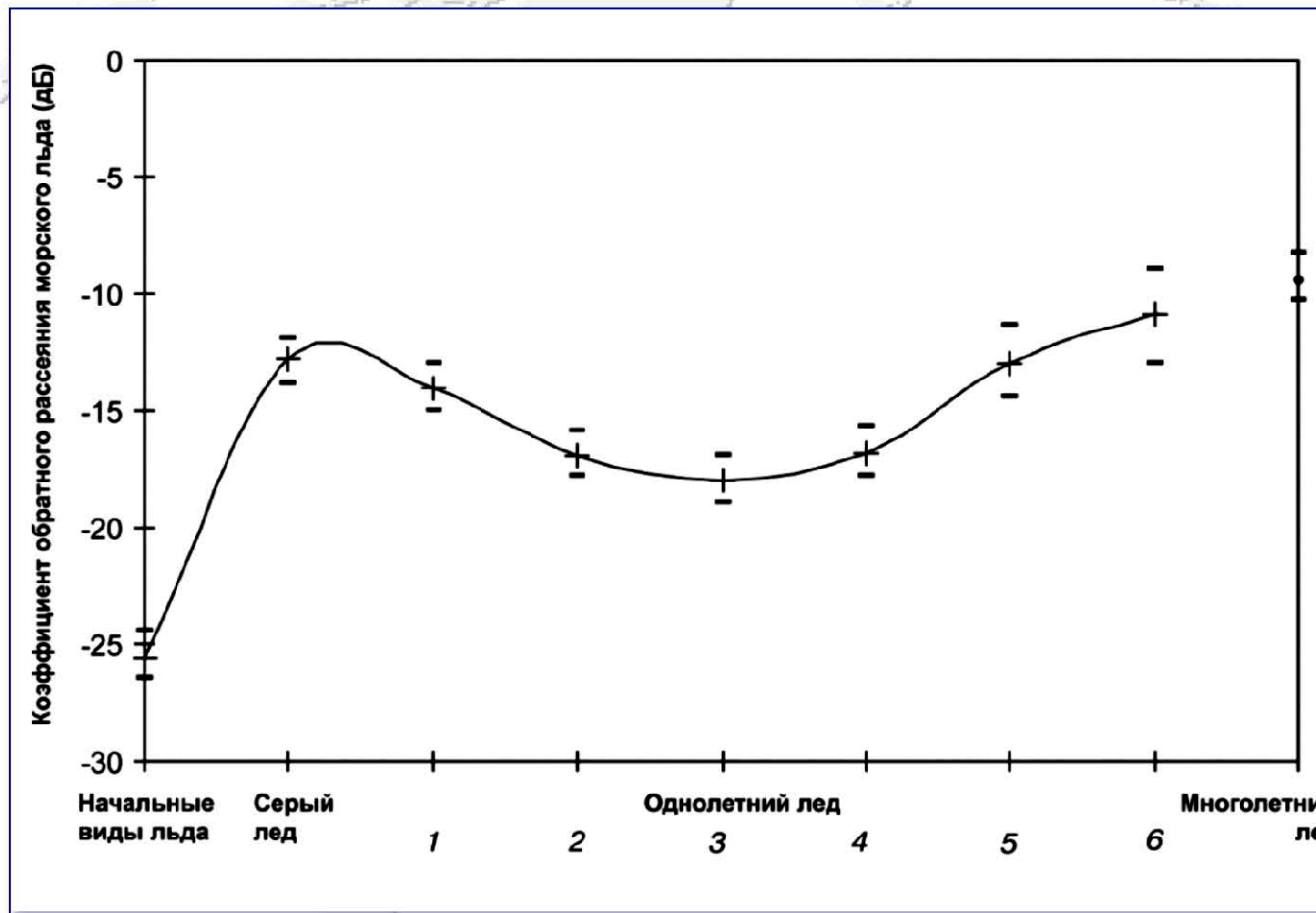
где P_r – мощность принимаемого отклика радиосигнала, P_t – мощность зондирующего импульса, λ – длина волны, G – коэффициент усиления антенны, k – коэффициент ослабление радиоволн в атмосфере, R - наклонная дальность до цели, σ – эффективная площадь рассеяния (ЭПР) площадки разрешения.

В основном уравнении радиолокации ЭПР определяет обратное рассеяние как площадь (м^2) дискретного объекта и является энергетической характеристикой, то есть определяет величину мощности принимаемого сигнала. Для протяженных поверхностей мерой рассеяния является удельная эффективная площадь рассеяния (УЭПР или σ^0), которая является усредненной характеристикой эффективной площади рассеяния, отнесенной к единице площади зондируемого объекта (A) и выражющейся в децибелах:

$$\sigma^0 = 10 \log_{10} (\sigma(\theta)/A)$$



Идентификация льда по данным радара с синтезированной апертурой



На величину обратного рассеяния поверхности влияют:
шероховатость – мелко- масштабные и крупно- масштабные (относительно длины волны) неровности; диэлектрические свойства зондируемого объекта; частота радиолокатора; угол падения; поляризация.

1 – тонкий, 2 – ровный средний, 3 – ровный, толстый, 4 – торосистый,
5 – сильно торосистый, 6 – очень сильно торосистый

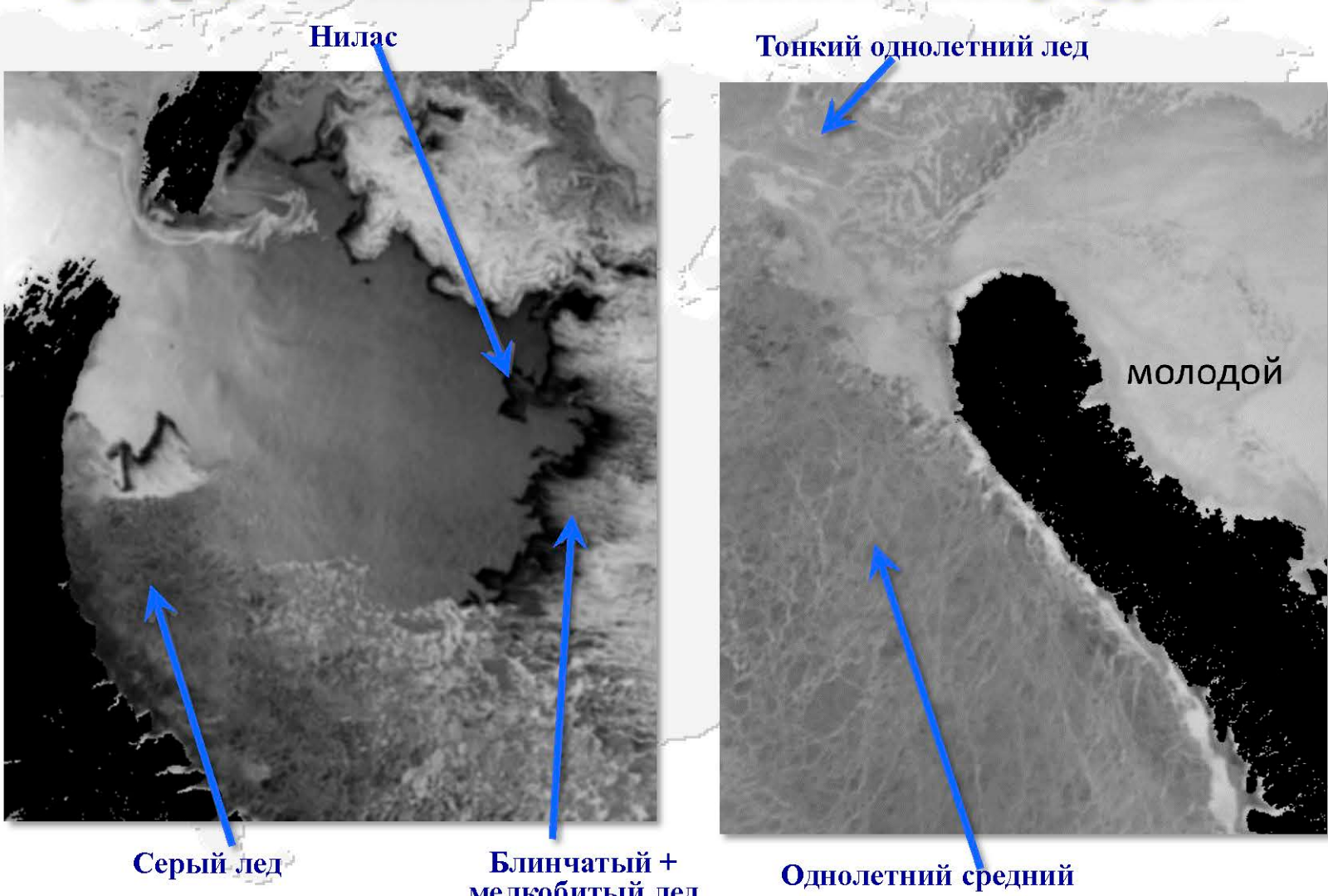


«Системный анализ динамики природных процессов в российской Арктике», Московская область, 6–9 июня 2022

© 2022, ГЦ РАН, МГТУ, МИЭТ, С.А. Лебедев



Идентификация льда по данным радара с синтезированной апертурой

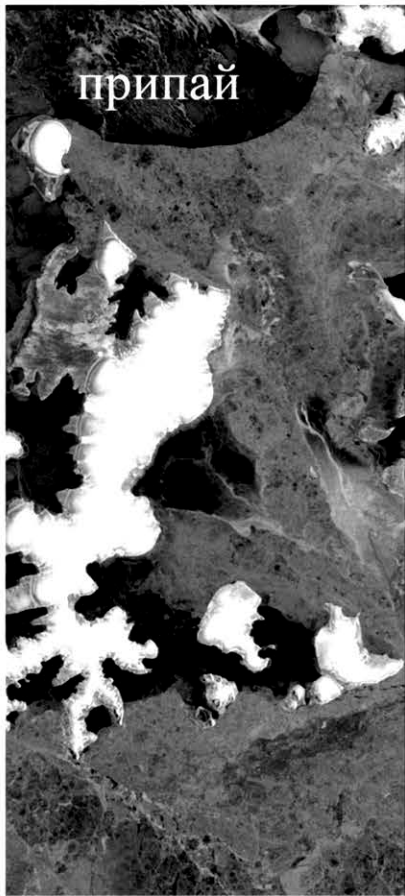


«Системный анализ динамики природных процессов в российской Арктике», Московская область, 6–9 июня 2022

© 2022, ГЦ РАН, МГТУ, МИЭТ, С.А. Лебедев



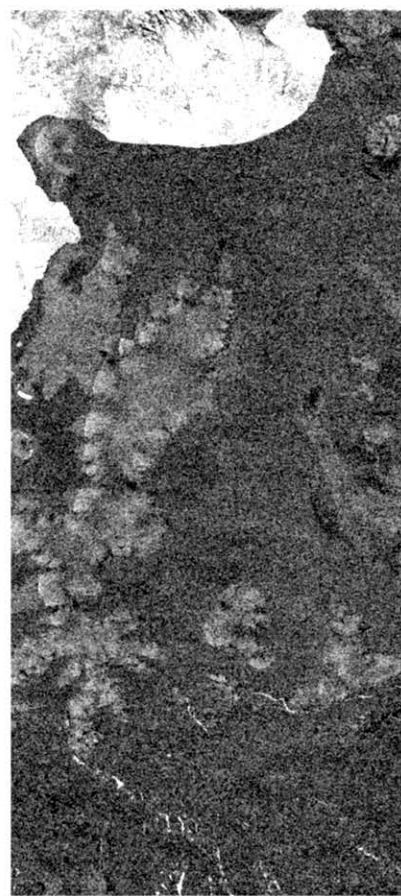
Идентификация льда по данным радара с синтезированной апертурой



HH



VV



VV-HH

Изображение, полученное со спутника ENVISAT в режиме APM (15.04.2006; полоса IS-4). На кросс-поляризации лучше выделяются начальные льды, нилас, открытая вода и граница припая

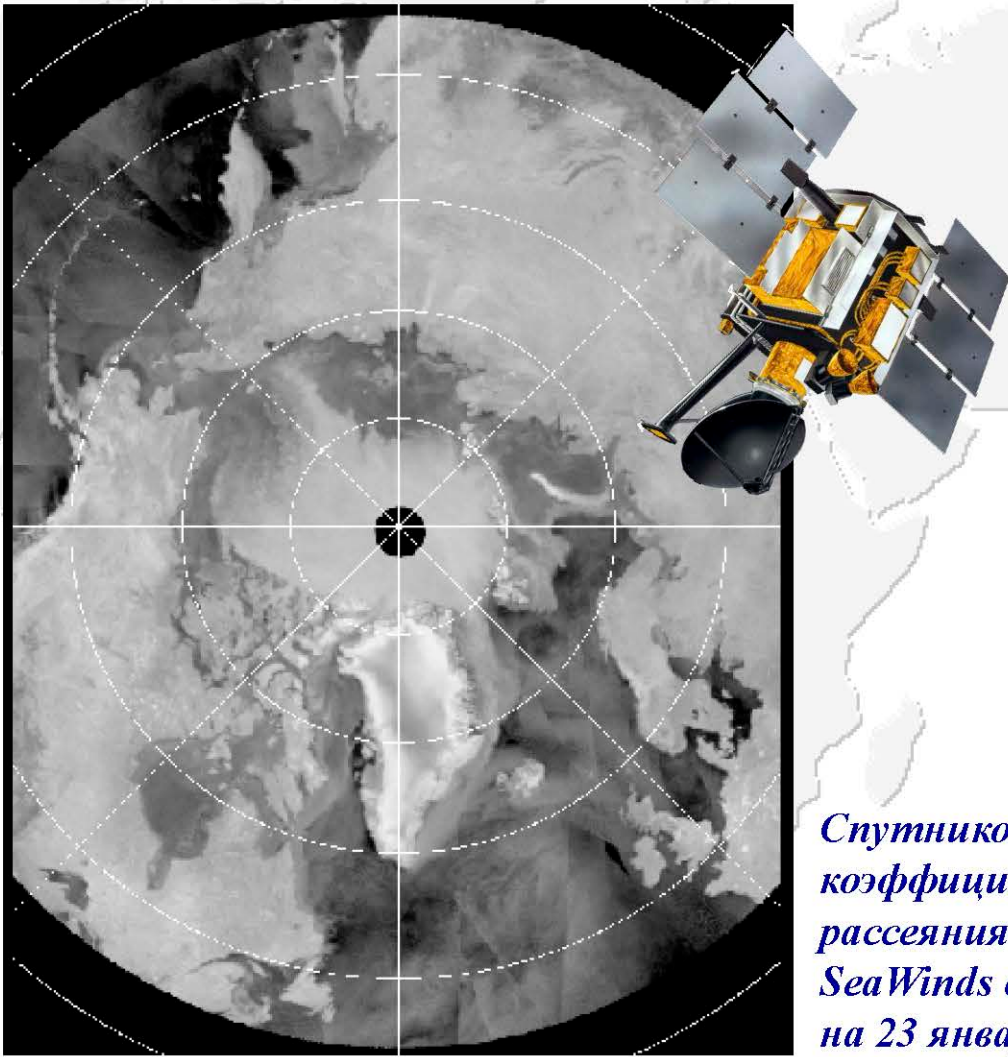


«Системный анализ динамики природных процессов в российской Арктике», Московская область, 6–9 июня 2022

© 2022, ГЦ РАН, МГТУ, МИЭТ, С.А. Лебедев



Дистанционные измерения морского льда спутниковой скаттерометрии



*Спутниковое изображение
коэффициента обратного
рассеяния скаттерометра
SeaWinds спутника QuikSCAT
на 23 января 2003 г.*

«Системный анализ динамики природных процессов в российской Арктике», Московская область, 6–9 июня 2022

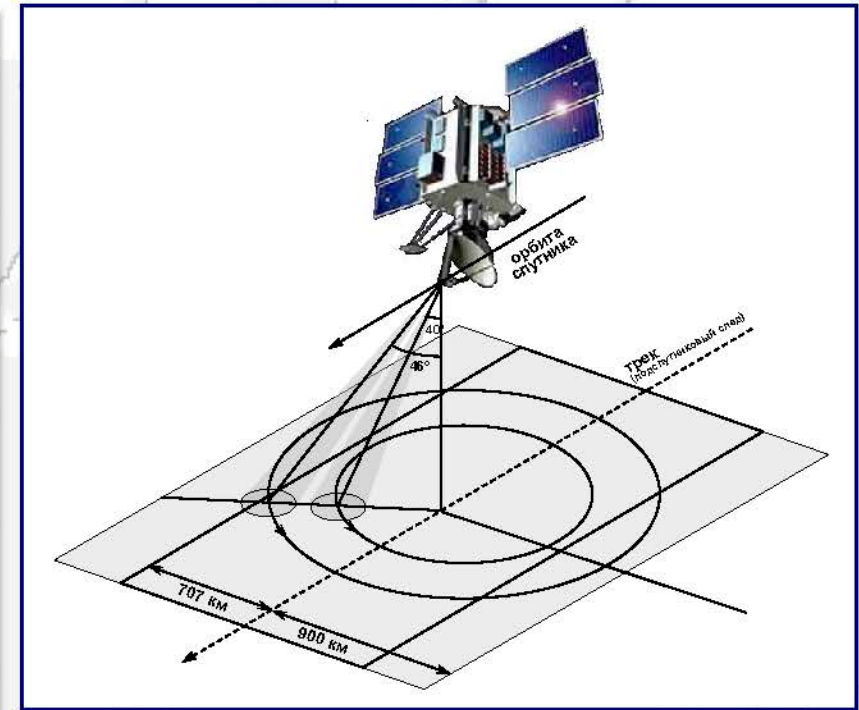
© 2022, ГЦ РАН, МГТУ, МИЭТ, С.А. Лебедев



Дистанционные измерения морского льда спутниковой скаттерометрии

Скатерометр SeaWinds спутника QuikSCAT

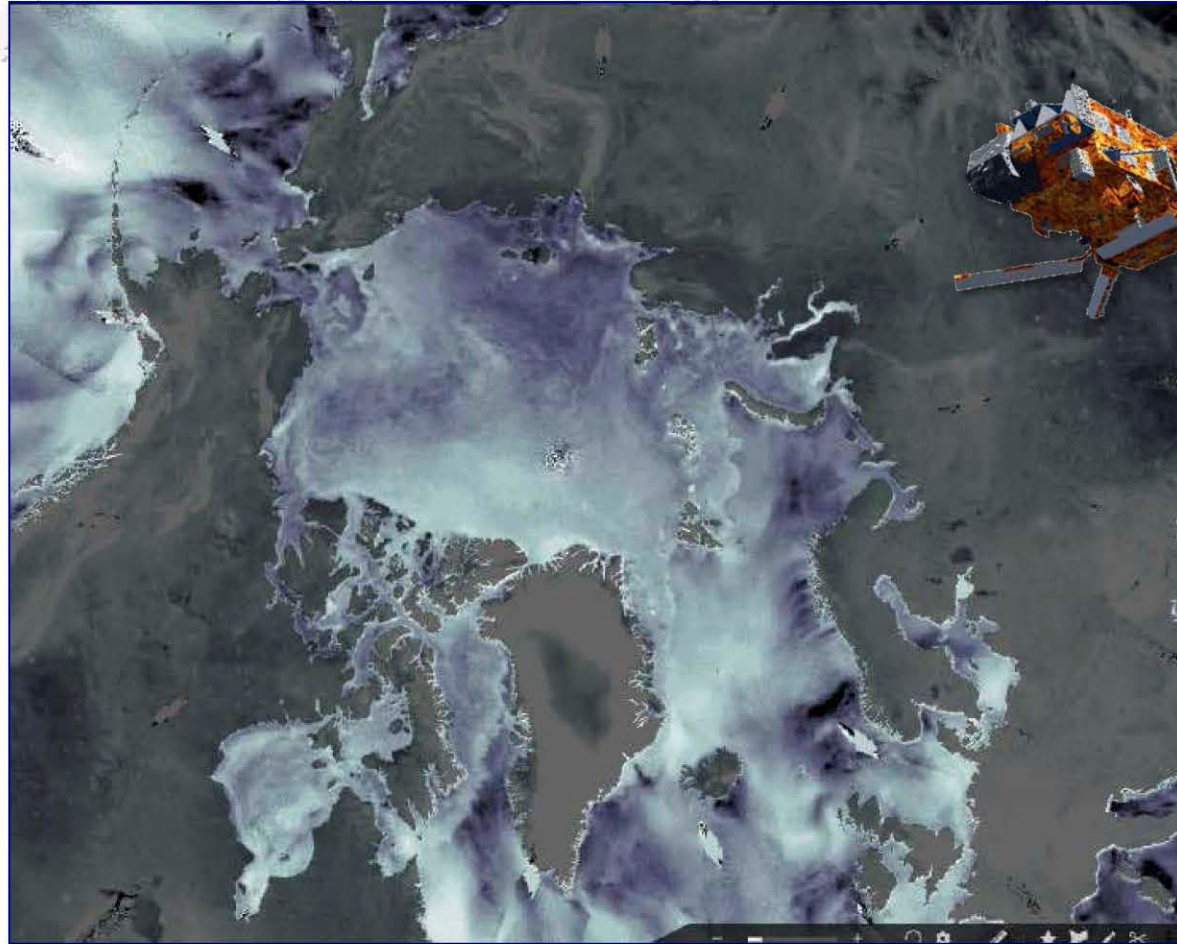
Рабочая частота, ГГц	13,4
Схема сканирования	Круговая
Поляризация	VV HH
Угол сканирования	$\pm 47^\circ$ (HH) $\pm 55^\circ$ (VV)
Пространственное разрешение, км	12,5 (Basic sampling) 25 (Standard quality) 50 (Best quality)
Ширина полосы обзора, км	1400 (HH) 1600 (VV)
Период повторной съемки	4 суток



Скатерометр SeaWinds спутника QuikSCAT



Дистанционные измерения морского льда спутниковой скаттерометрии



Спутниковые изображения коэффициента обратного рассеяния скаттерометра ASCAT (Advanced SCATTERometer) спутника Metop-C на 15 декабря 2019 г.



«Системный анализ динамики природных процессов в российской Арктике», Московская область, 6–9 июня 2022

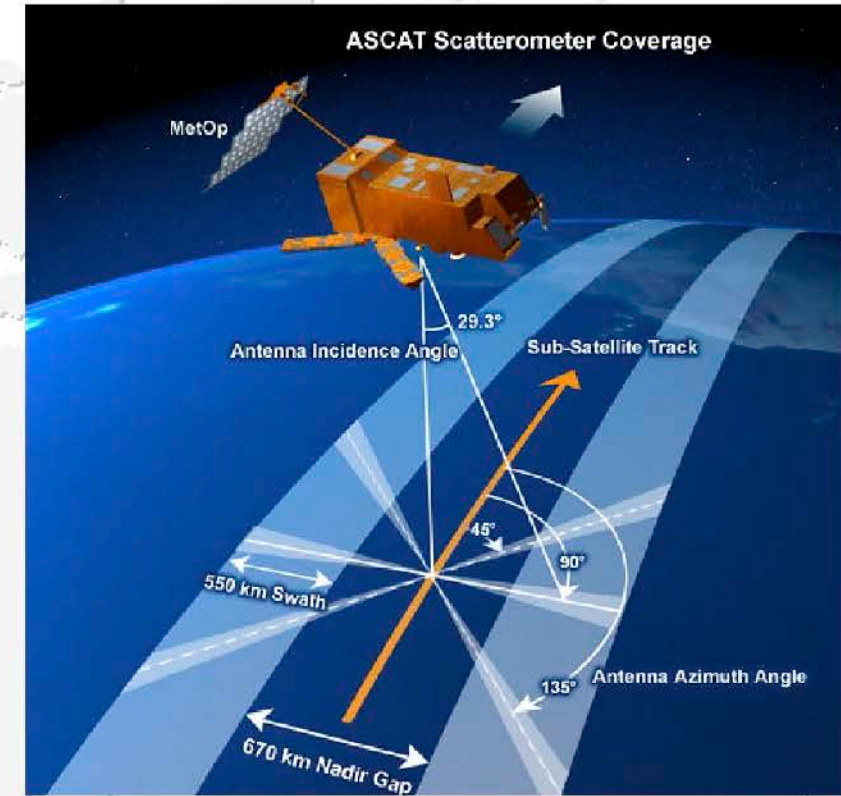
© 2022, ГЦ РАН, МГТУ, МИЭТ, С.А. Лебедев



Дистанционные измерения морского льда спутниковой скаттерометрии

Скатерометр ASCAT (Advanced SCATterometer) спутника Metop-C

Рабочая частота, ГГц	5,255
Ориентации антенн по отношения к траектории движения	$\pm 45^\circ$ $\pm 90^\circ$ $\pm 135^\circ$
Поляризация	VV
Пространственное разрешение, км	50 (Nominal mode) 25-37 (High-resolution mode)
Ширина полосы обзора, км	Две полосы по 550 км, разделенные 670-километровым промежутком вдоль пути.
Период повторной съемки	1-3 суток, в зависимости от широты места съемки



Скатерометр ASCAT спутника Metop-C



«Системный анализ динамики природных процессов в российской Арктике», Московская область, 6–9 июня 2022

© 2022, ГЦ РАН, МГТУ, МИЭТ, С.А. Лебедев



Идентификация льда по данным спутниковой скаттерометрии

Основное уравнение радиолокации

$$P_r = \frac{P_t G^2 \lambda^2 k \sigma}{(4\pi)^3 R^4}$$

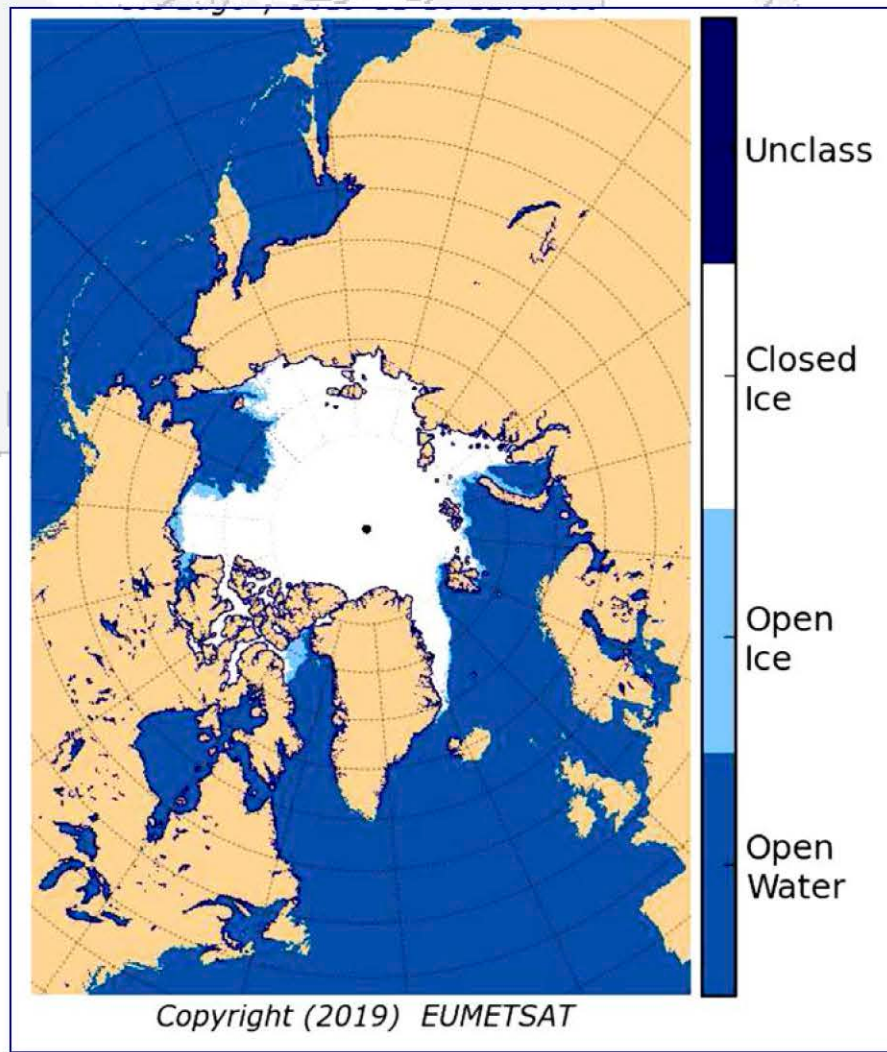
где P_r – мощность принимаемого отклика радиосигнала, P_t – мощность зондирующего импульса, λ – длина волны, G – коэффициент усиления антенны, k – коэффициент ослабление радиоволн в атмосфере, R - наклонная дальность до цели, σ – эффективная площадь рассеяния (ЭПР) площадки разрешения.

В основном уравнении радиолокации ЭПР определяет обратное рассеяние как площадь (м^2) дискретного объекта и является энергетической характеристикой, то есть определяет величину мощности принимаемого сигнала. Для протяженных поверхностей мерой рассеяния является удельная эффективная площадь рассеяния (УЭПР или σ^0), которая является усредненной характеристикой эффективной площади рассеяния, отнесенной к единице площади зондируемого объекта (A) и выражющейся в децибелах:

$$\sigma^0 = 10 \log_{10} (\sigma(\theta)/A)$$



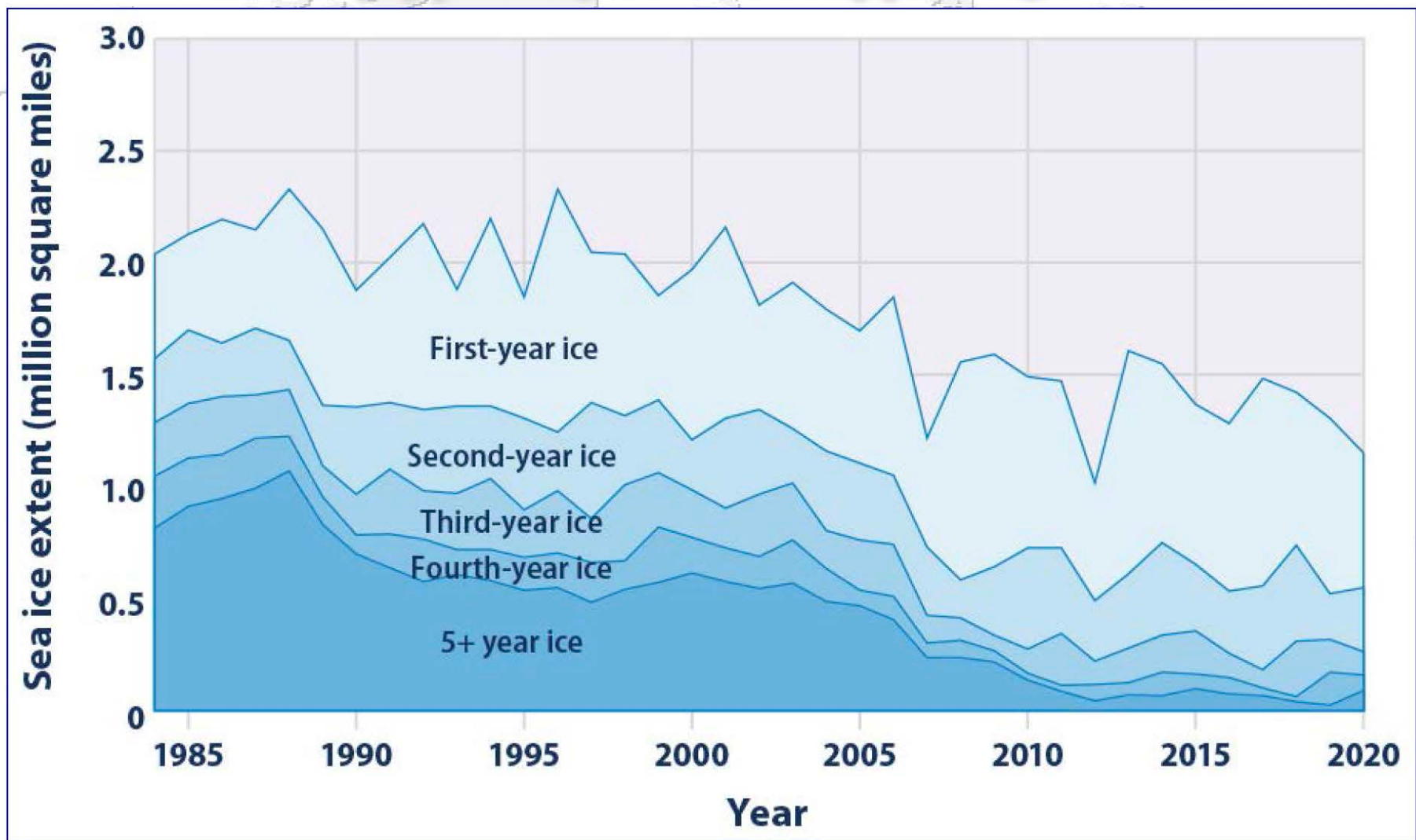
Идентификация льда по данным спутниковой скаттерометрии



Классификация морского льда
по данным скаттерометра
*ASCAT (Advanced
SCATterometer)* спутника
Metop-C на 12 ноября 2019 г.



Климатическая изменчивость площади морского льда в Арктике

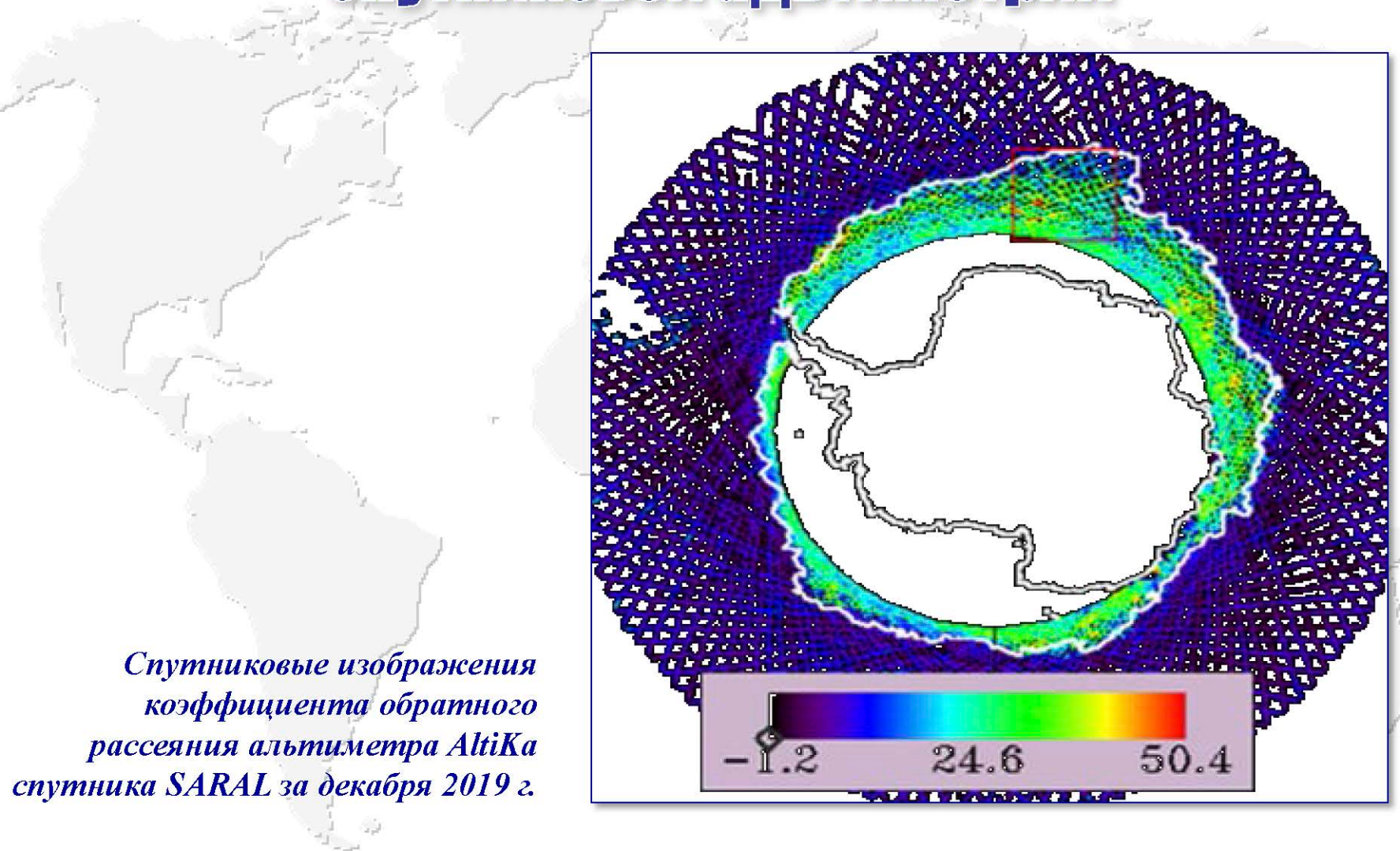


«Системный анализ динамики природных процессов в российской Арктике», Московская область, 6–9 июня 2022

© 2022, ГЦ РАН, МГТУ, МИЭТ, С.А. Лебедев



Дистанционные измерения морского льда спутниковой альtimетрии

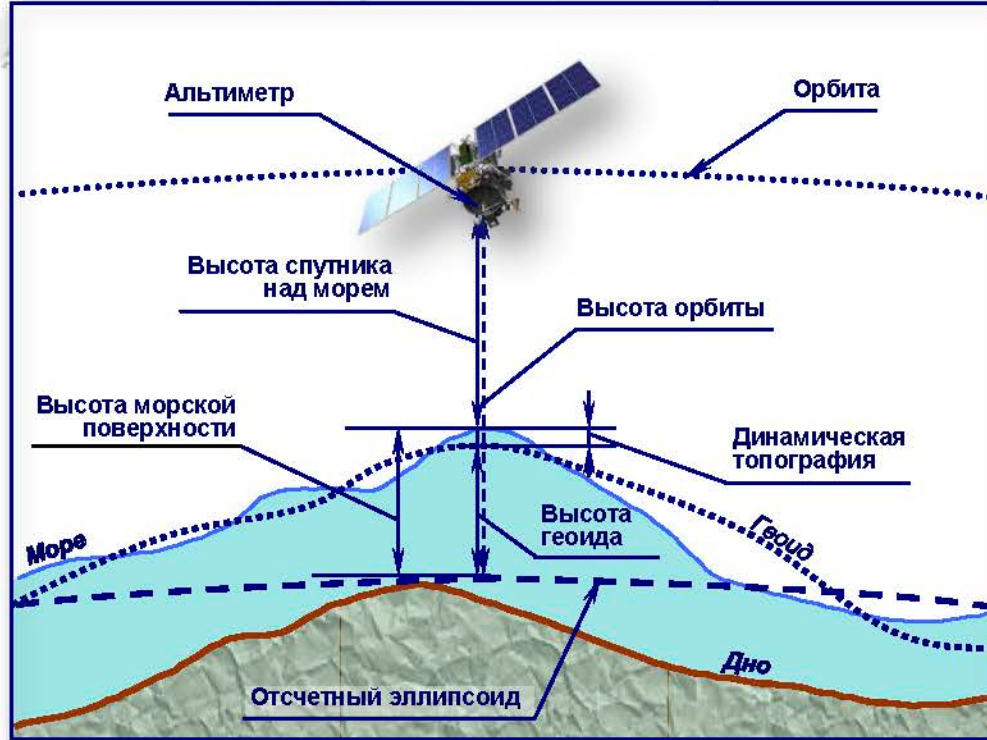


«Системный анализ динамики природных процессов в российской Арктике», Московская область, 6–9 июня 2022

© 2022, ГЦ РАН, МГТУ, МИЭТ, С.А. Лебедев



Дистанционные измерения морского льда спутниковой альтиметрии



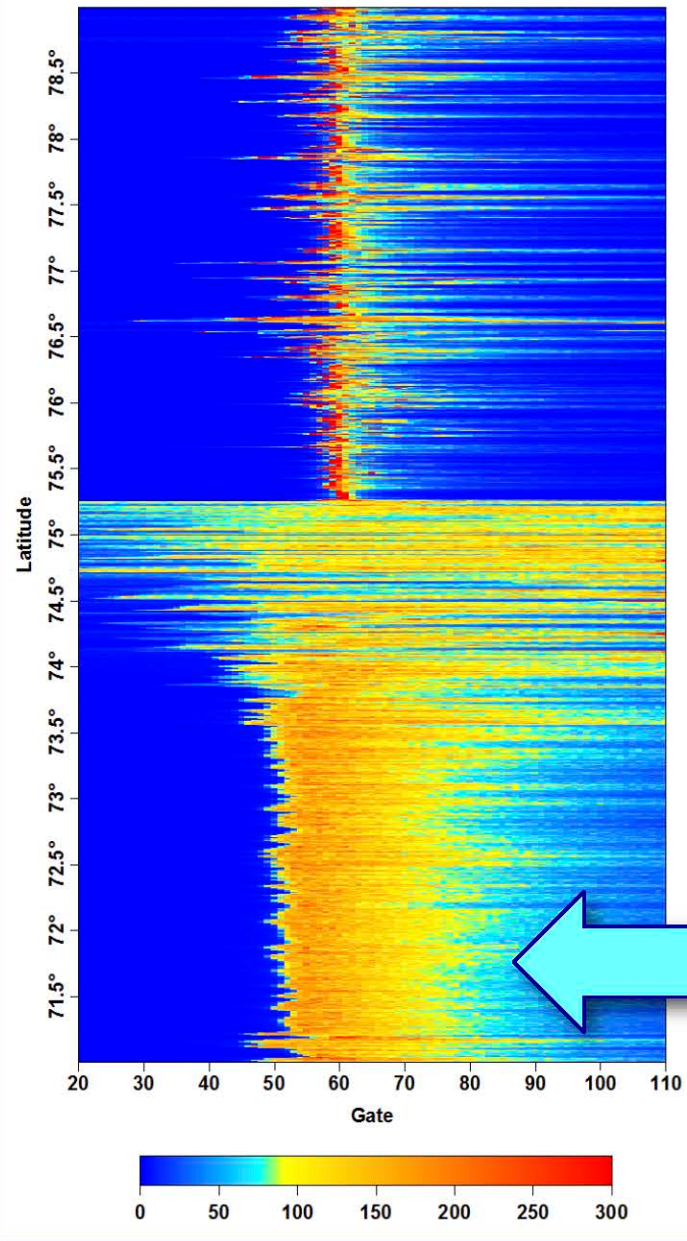
Принципиальная схема спутниковой альтиметрии

Радар альтиметр Altika спутника SARAL

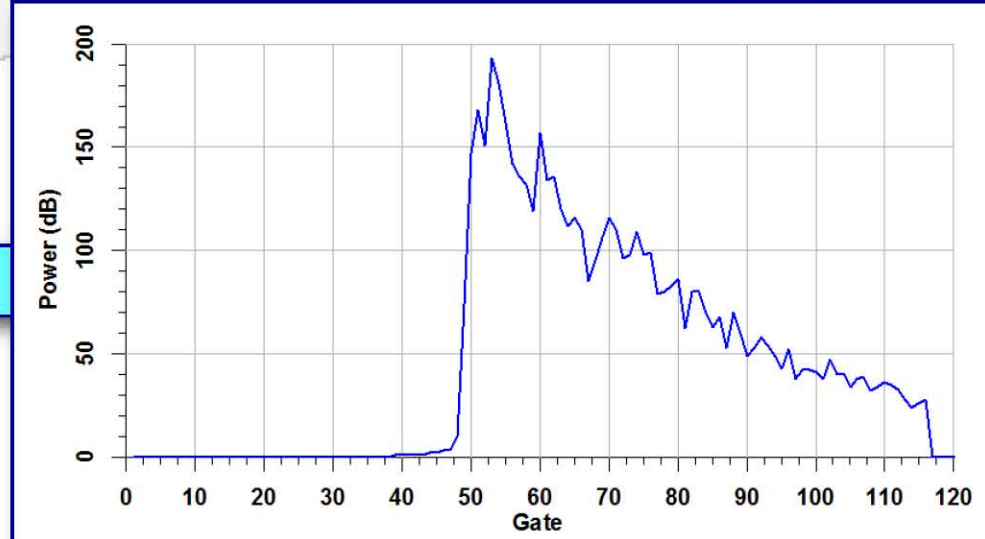
Рабочая частота, ГГц	36,75
Пространственное разрешение в надире, км	10
Период повторной съемки	27 суток, в зависимости от широты места съемки



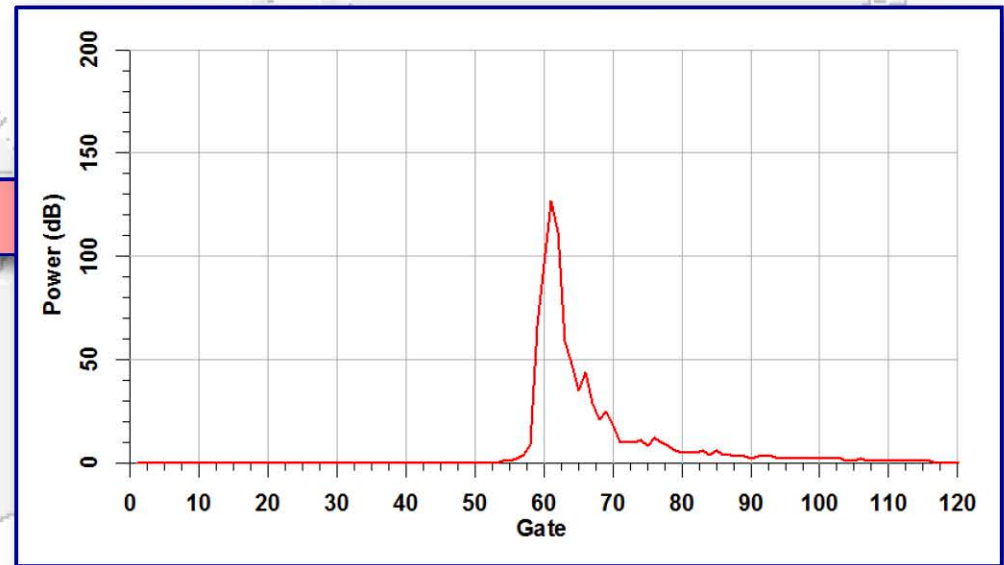
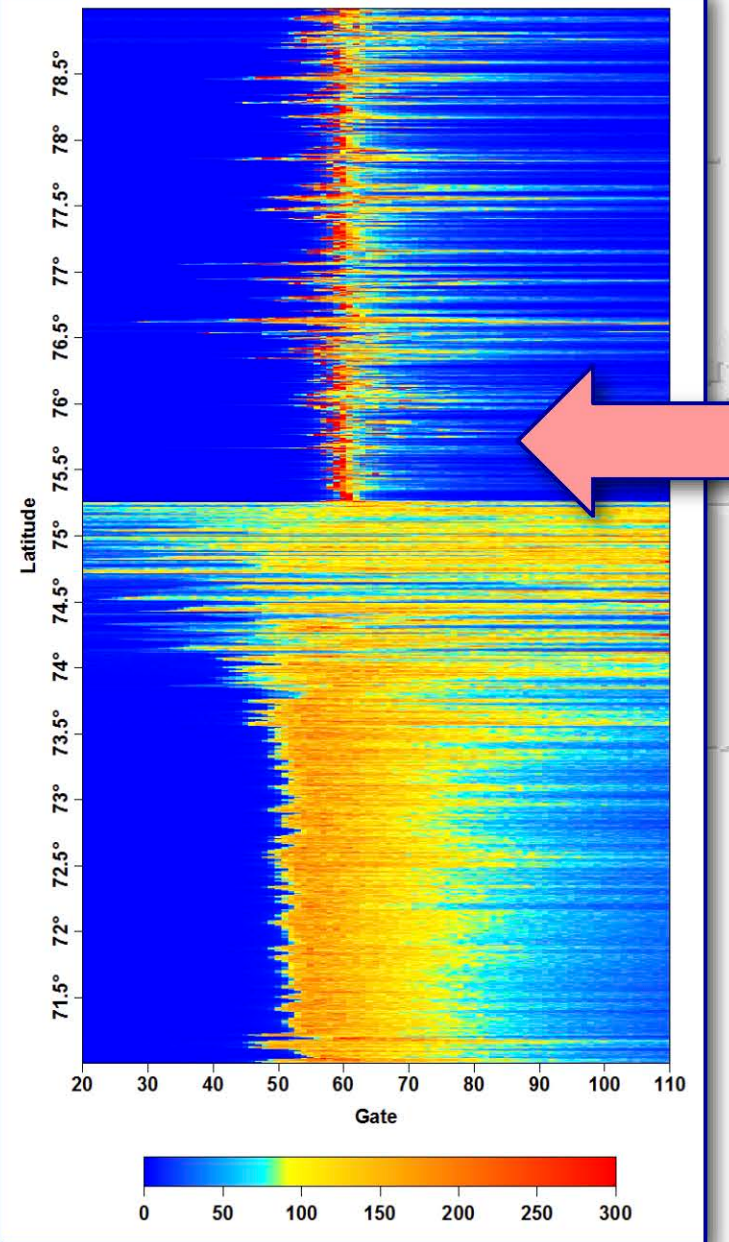
Метод идентификации положения кромки льда



Зависимость мощности отраженного сигнала от широты вдоль 216 трека спутника SARAL/AltiKa для 104 цикла (12 декабря 2016 г.).



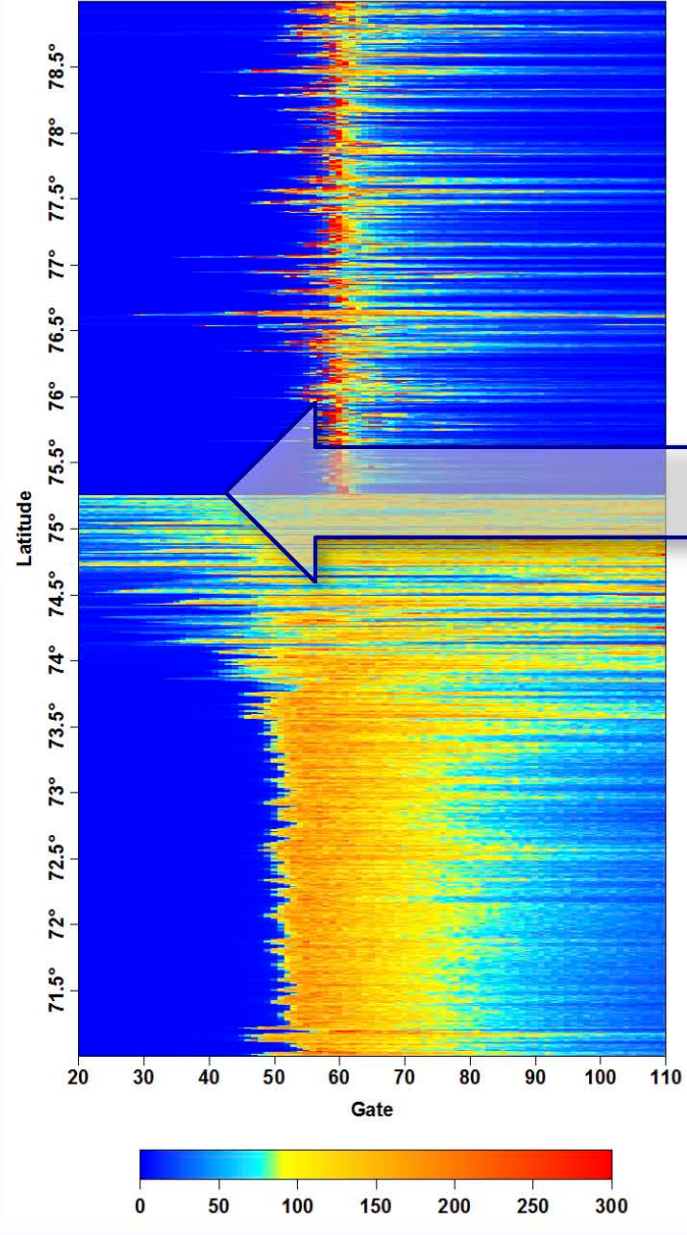
Метод идентификации положения кромки льда



Зависимость мощности отраженного сигнала от широты вдоль 216 трека спутника SARAL/AltiKa для 104 цикла (12 декабря 2016 г.).



Метод идентификации положения кромки льда



Положение кромки льда

Зависимость мощности отраженного сигнала от широты вдоль 216 трека спутника SARAL/AltiKa для 104 цикла (12 декабря 2016 г.).



Алгоритм ретрекинга Ice-2

$$P(t) = \frac{P_u}{2} \exp(S_T(t - \tau)) \left(1 + \operatorname{erf}\left(\frac{t - \tau}{\sigma_L}\right) \right) + P_n$$

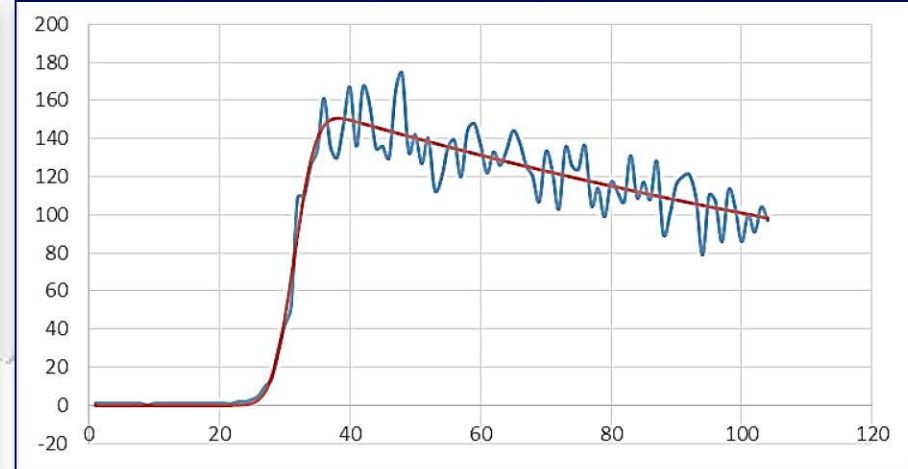
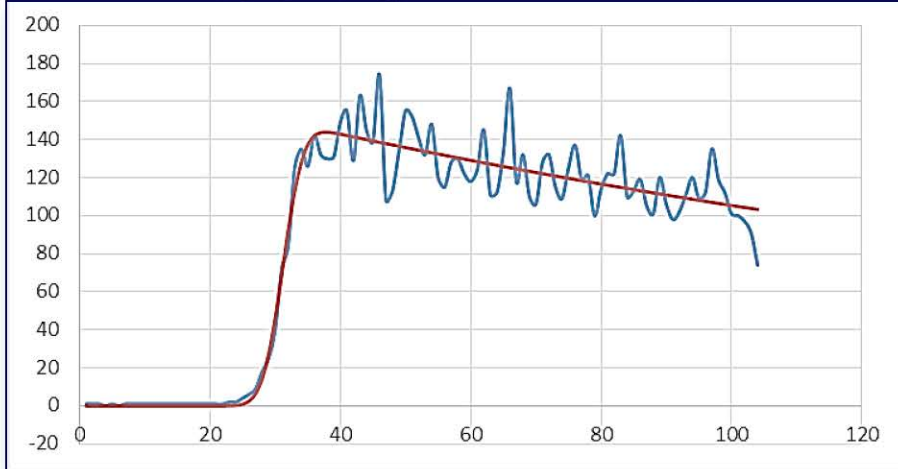
P_u – амплитуда отраженного сигнала

S_T – угол отклонения антенны от положения надира

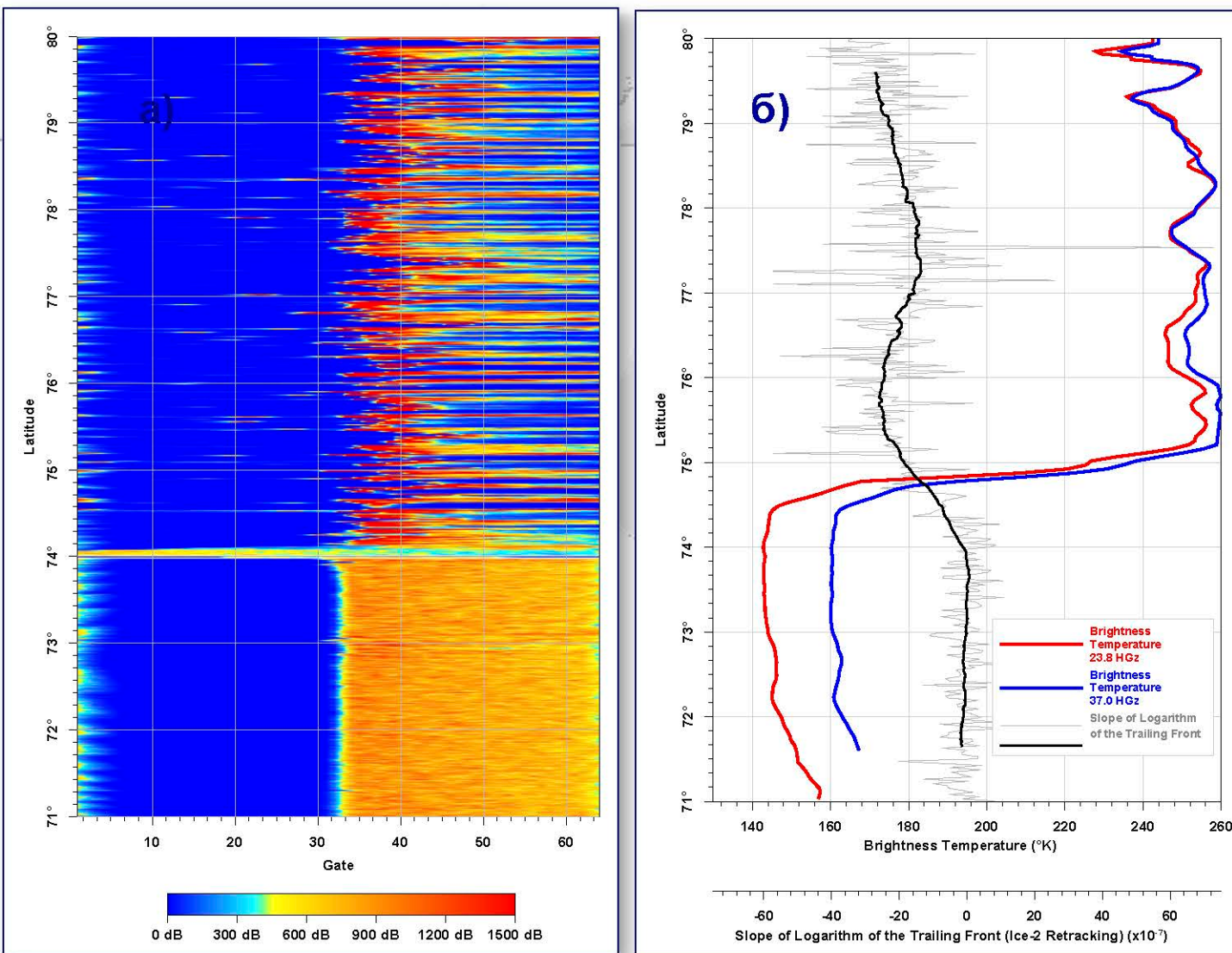
τ – «эпоха», номер гейта

σ_L – наклон логарифма задней фронта

P_n – уровень теплового шума



Метод идентификации положения кромки льда



Изменчивость
мощности
отраженного
импульса (а),
радиояркостных
температур на
частотах 23,8 и 37
ГГц и
коэффициента
экспоненциальног
о наклон заднего
фронта алгоритма
ретрекинга Ice-2
(б) вдоль 118
трека на
основании
альтиметрических
измерений
альтиметра RA
спутника ERS-2
(11 цикл, 6 мая
1996 г.).

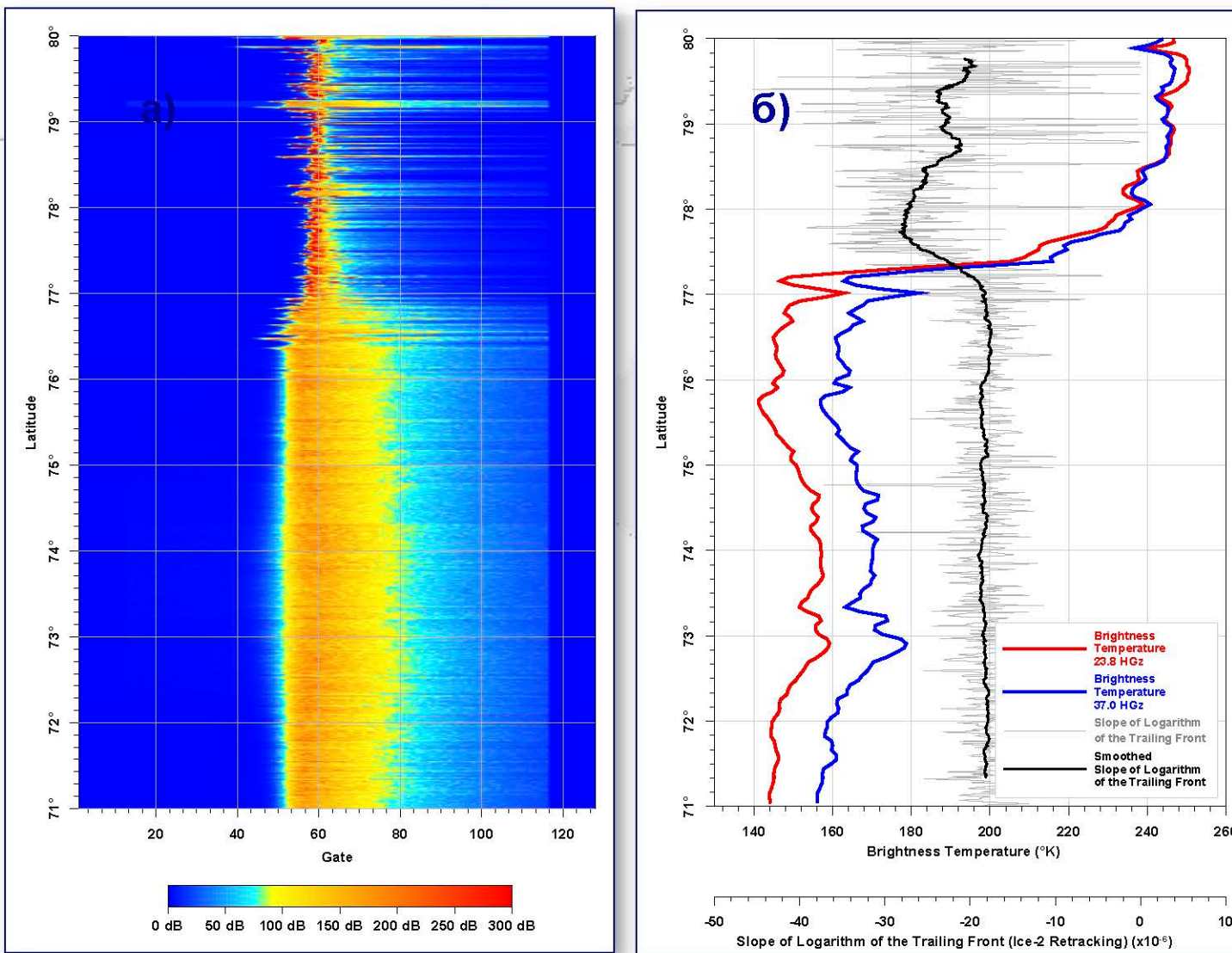


«Системный анализ динамики природных процессов в российской Арктике», Московская область, 6–9 июня 2022

© 2022, ГЦ РАН, МГТУ, МИЭТ, С.А. Лебедев



Метод идентификации положения кромки льда



Изменчивость
мощности
отраженного
импульса (а),
радиояркостных
температур на
частотах 23,8 и 37
ГГц и
коэффициента
экспоненциальног
о наклон заднег
о фронта
алгоритма
ретрекинга Ice-2
(б) вдоль 118
трека на
основании
альтиметрических
измерений
альтиметра
AltiKA спутника
SARAL (20 цикл,
14 января 2015 г.).

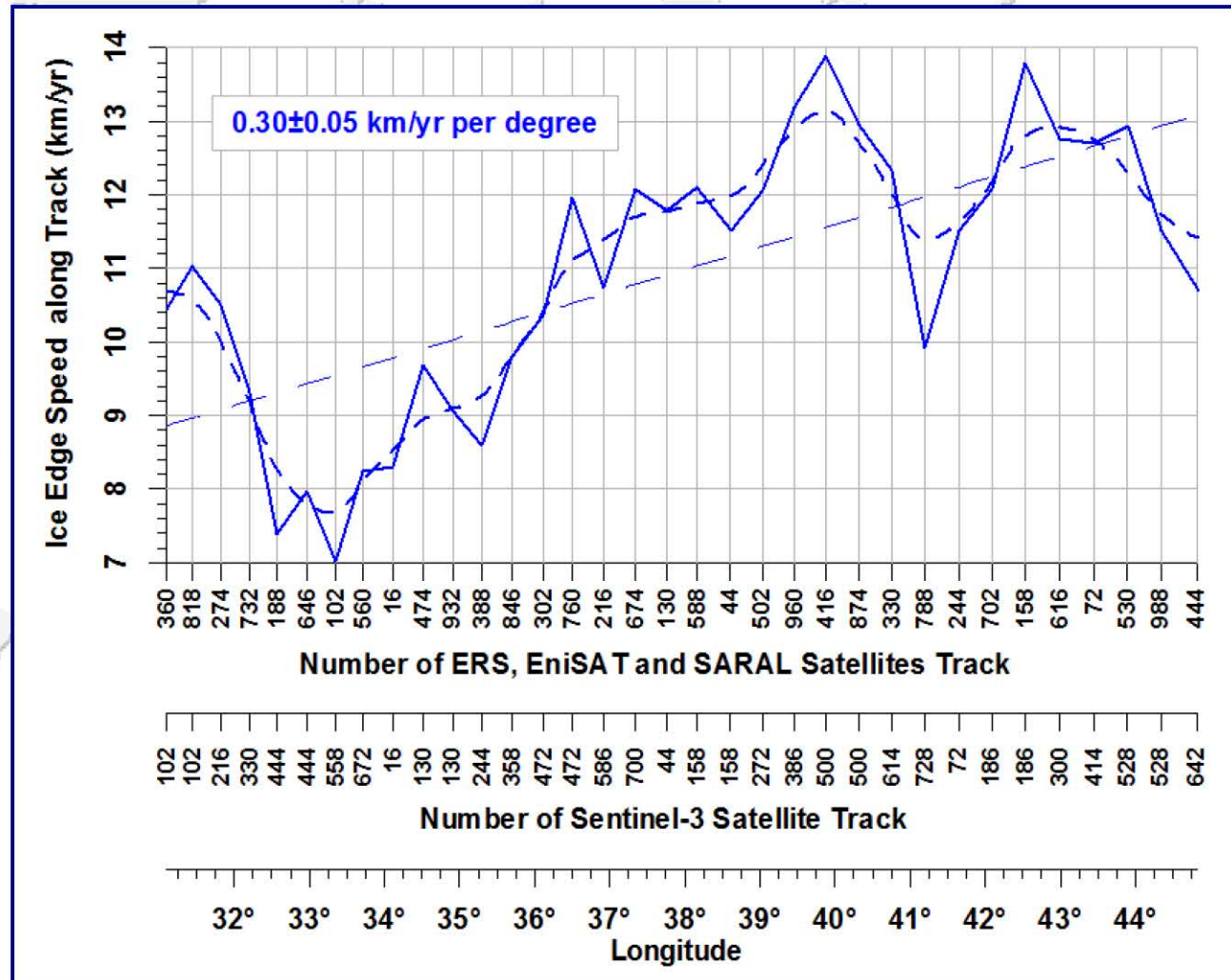
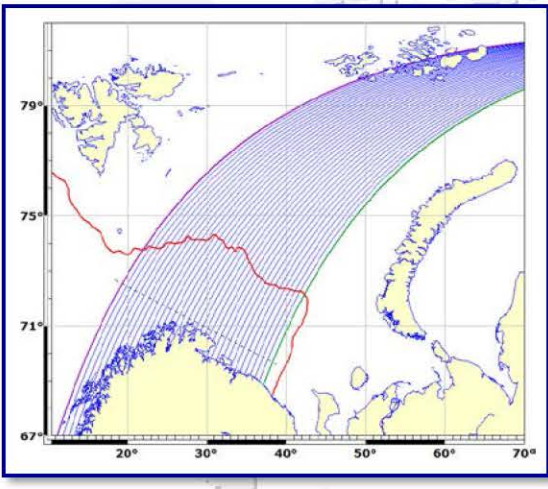


«Системный анализ динамики природных процессов в российской Арктике», Московская область, 6–9 июня 2022

© 2022, ГЦ РАН, МГТУ, МИЭТ, С.А. Лебедев



Климатическая изменчивость положения кромки льда в Баренцевом море



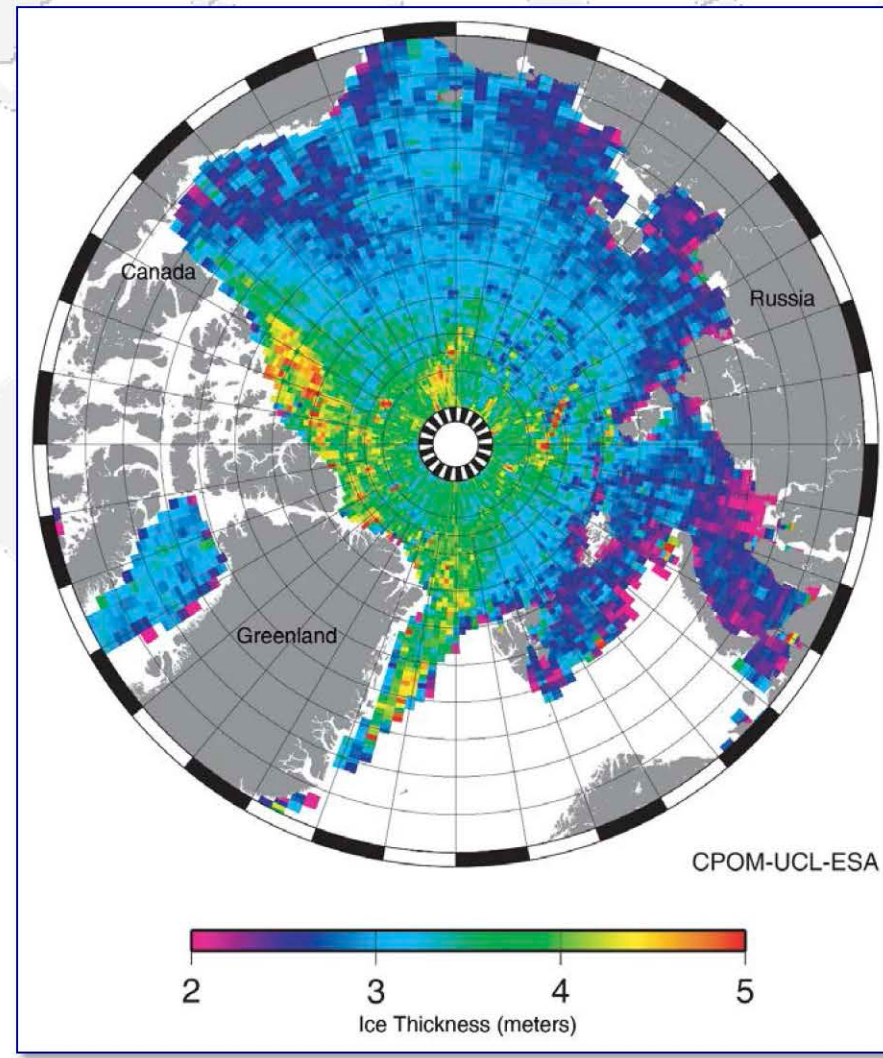
«Системный анализ динамики природных процессов в российской Арктике», Московская область, 6–9 июня 2022

© 2022, ГЦ РАН, МГТУ, МИЭТ, С.А. Лебедев



Дистанционные измерения морского льда спутниковой адъиметрии

Карта толщины морского льда в Арктике за январь и февраль 2011 г. По данным спутника CryoSat-2.

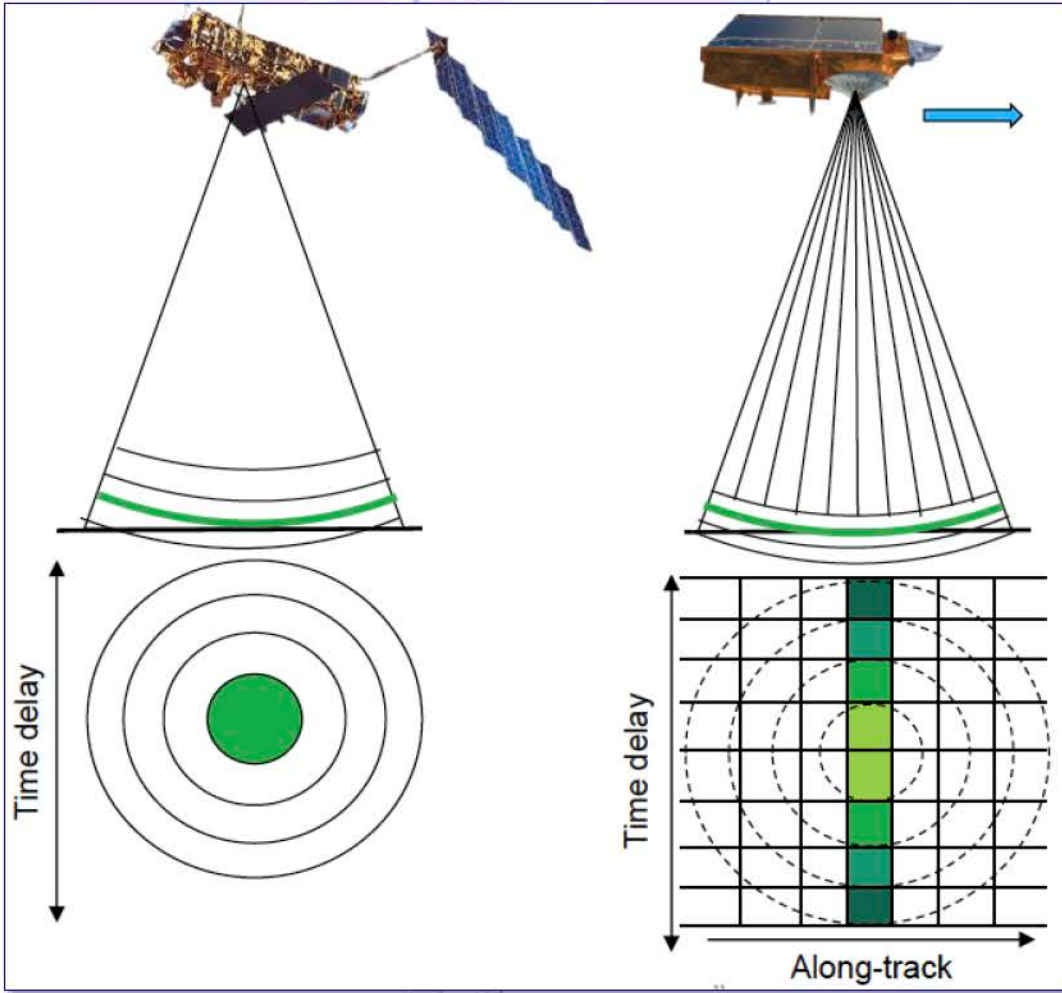


«Системный анализ динамики природных процессов в российской Арктике», Московская область, 6–9 июня 2022

© 2022, ГЦ РАН, МГТУ, МИЭТ, С.А. Лебедев



Дистанционные измерения морского льда спутниковой альтиметрии



Радар альтиметр SRAL (Synthetic aperture Radar Altimeter) спутника Sentinel-3

Рабочая частота, ГГц	5,4 13,58
Пространственное разрешение в надире, м	300 (SAR mode) 20 000 (вдоль тера)
Период повторной съемки	27 суток, в зависимости от широты места съемки

Принципиальная схема измерений альтиметра с синтезированной апертурой SRAL (Synthetic aperture Radar Altimeter) спутника Sentinel-3



«Системный анализ динамики природных процессов в российской Арктике», Московская область, 6–9 июня 2022

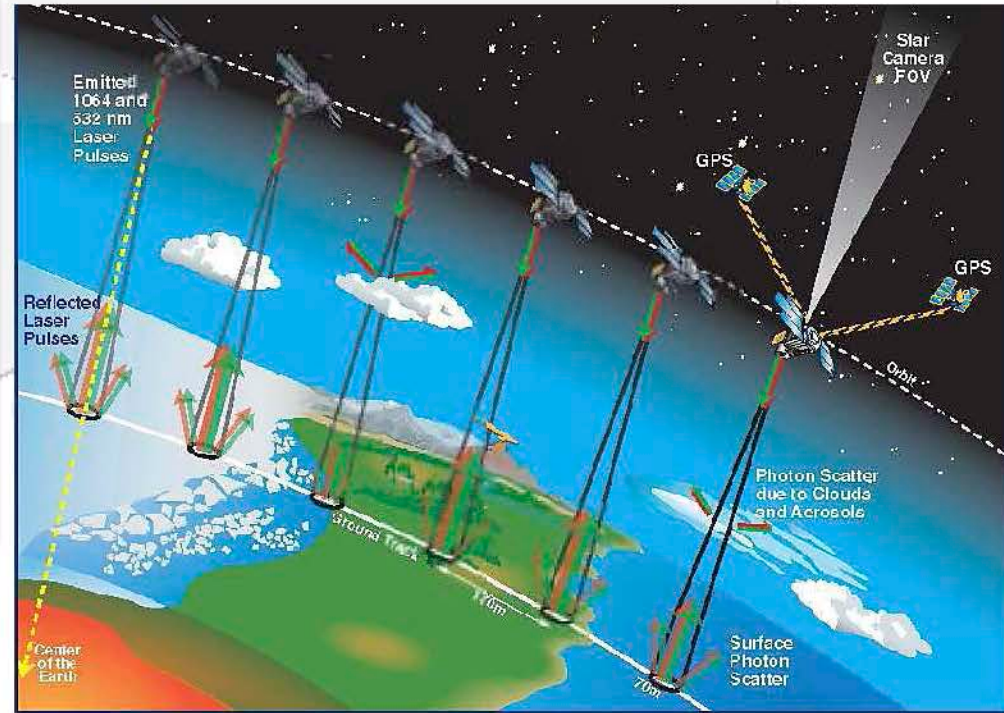
© 2022, ГЦ РАН, МГТУ, МИЭТ, С.А. Лебедев



Дистанционные измерения морского льда спутниковой альтиметрии

Радар альтиметр GLAS (Geoscience Laser Altimeter System) спутника ICESat

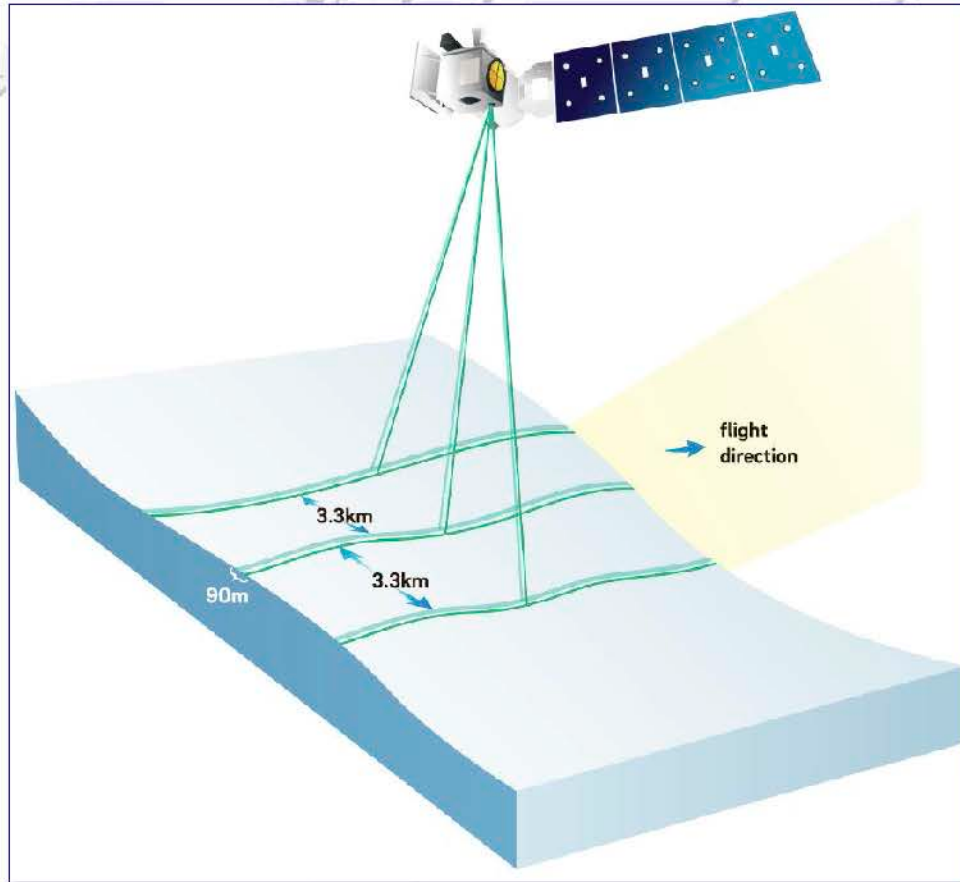
Рабочая частота, нм	532 1064
Пространственное разрешение в надире, м	70
Расстояние между единичными измерениями, м	170
Период повторной съемки	183 суток, в зависимости от широты места съемки



Принципиальная схема измерений альтиметра с синтезированной апертурой GLAS (Geoscience Laser Altimeter System) спутника ICESat



Дистанционные измерения морского льда спутниковой альтиметрии



Радар альтиметр ATLAS (Advanced Topographic Laser Altimeter System) спутника ICESat-2

Рабочая частота, нм	1064
Пространственное разрешение в надире, м	66
Расстояние между единичными измерениями, м	170
Расстояние между полосами измерений, км	3,3
Период повторной съемки	183 суток, в зависимости от широты места съемки

Принципиальная схема измерений альтиметра с синтезированной апертурой ATLAS (Advanced Topographic Laser Altimeter System) спутника ICESat-2

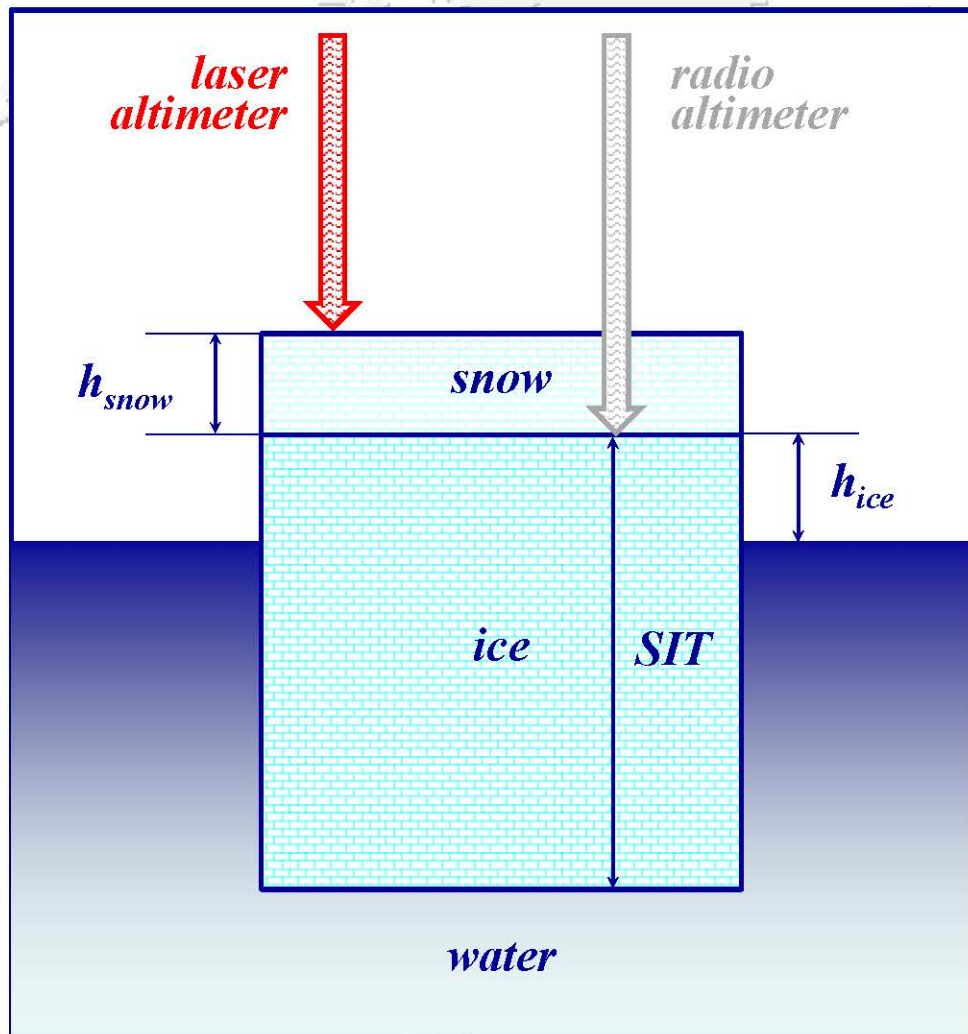


«Системный анализ динамики природных процессов в российской Арктике», Московская область, 6–9 июня 2022

© 2022, ГЦ РАН, МГТУ, МИЭТ, С.А. Лебедев



Алгоритм расчета толщины льда



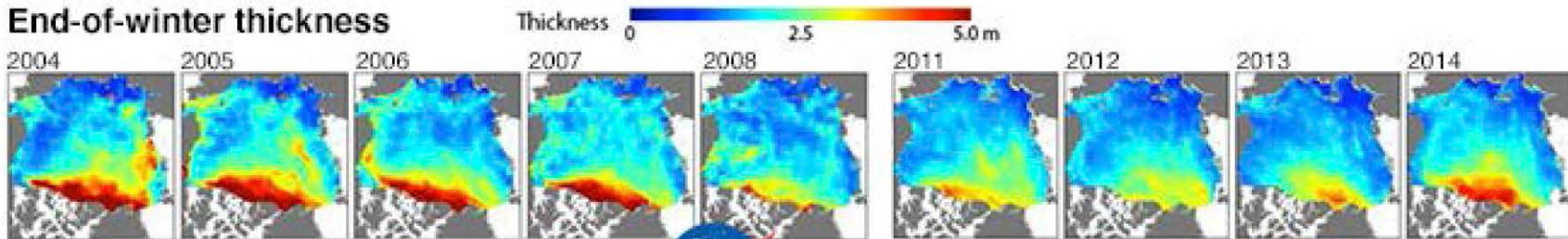
Для расчета толщины морского льда (sea-ice thickness - SIT) используется гидростатическое равновесие между покрытым снегом морским льдом и океаном:

$$SIT = \frac{h_{snow}\rho_{snow} + h_{ice}\rho_{ice}}{\rho_{water} - \rho_{ice}}$$

где h_{snow} – толщина снежного покрова, ρ_{snow} – плотность снега, h_{ice} – толщина льда относительно поверхности моря, ρ_{ice} – плотность льда, ρ_{water} – плотность воды.

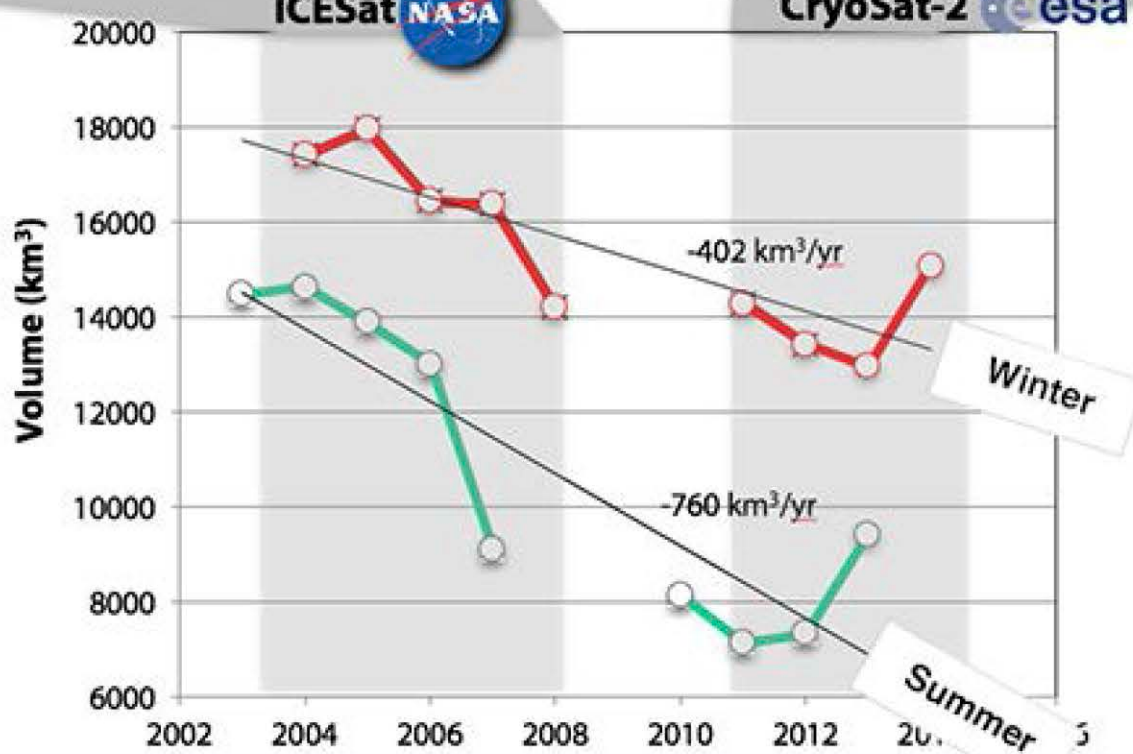
Климатическая изменчивость толщины морского льда в Арктике

End-of-winter thickness



ICESat NASA

CryoSat-2 esa



Заключение

Преимущества различных методов дистанционного зондирования морского льда

Методы	Преимущества	Недостатки
<i>Пассивные методы зондирования</i>		
Радиометр видимого диапазона	Высокое пространственное разрешение	Чувствительность к облачному покрову и времени суток. Низкая частота повторного обзора.
Радиометр инфракрасного диапазона	Хорошее пространственное разрешение. Высокая частота повторного обзора.	Чувствительность к облачному покрову
Радиометр микроволнового диапазона	Всепогодность. Высокая частота повторного обзора.	Низкое пространственное разрешение
<i>Активные методы зондирования</i>		
Радар с синтезированной аппретурой	Всепогодность. Высокое пространственное разрешение.	Низкая частота повторного обзора.
Скаттерометрия	Всепогодность. Высокая частота повторного обзора.	Низкое пространственное разрешение
Альтиметрия	Всепогодность.	Измерения в надир вдоль треков. Низкая частота повторного обзора.



СПАСИБО ЗА ВНИМАНИЕ



Лебедев Сергей Анатольевич

Профессор, Доктор физико-математических наук

Ведущий научный сотрудник лаборатории геоинформатики и геомагнитных исследований Геофизического центра РАН

Ведущий научный сотрудник Майкопского государственного технологического университета

Профессор Московского института электронной техники

Почетный профессор Тверского государственного университета

info@gcras.ru